

# 随机过程 B

## 第 4 章 平稳过程

解扬洋, 殷哲

E-mails: xieyclio@ustc.edu.cn; yinzhe@ustc.edu.cn

## 1 平稳过程的定义和例子

- 平稳过程的定义
- 周期平稳过程

## 2 遍历性定理

- 遍历性的定义
- 均值遍历性定理
- 协方差函数遍历性定理
- 遍历性定理的应用

## 3 协方差函数与功率谱密度

- 协方差函数的性质
- 均方导数
- 常见随机信号的协方差函数
- 确定信号的功率谱密度
- 平稳过程的功率谱密度
- 功率谱密度的例子

## §4.1 平稳过程的定义和例子

- 我们称概率性质在**时间平移下不变**的过程为平稳过程
- 研究此类过程, **不需要固定的时间 (空间) 起点**
- 在通信、天文、生物、生态、经济学等各领域有广泛应用
- 本节中, 我们所讨论的随机过程时间指标集**关于加法运算封闭**:
  - ▷ 若  $t_1, t_2 \in T$ , 则  $t_1 + t_2 \in T$
- 常见的指标集有
  - (a)  $T = \{0, 1, 2, \dots\} = \mathbb{N}_0$
  - (b)  $T = \{0, \pm 1, \pm 2, \dots\} = \mathbb{Z}$
  - (c)  $T = \{t : t \geq 0\} = \mathbb{R}_0^+$
  - (d)  $T = \{t : -\infty < t < \infty\} = \mathbb{R}$
- 时间指标集也可表示空间位置

# 平稳过程的定义

回忆第 1 章中的定义

## 定义 4.1 严平稳过程

设  $\{X(t), t \in T\}$  是一随机过程, 若对任意正整数  $k$ ,  $T$  中任意  $k$  个时刻  $t_1 < t_2 < \cdots < t_k$ , 及  $\forall h \in T$ , 有

$$(X(t_1), \cdots, X(t_k)) \stackrel{d}{=} (X(t_1 + h), \cdots, X(t_k + h)),$$

则称其为严平稳过程. 这里 “ $d$ ” 表示随机向量同分布

- 如果  $T = \mathbb{Z}$ , 我们一般称  $X(t)$  为**随机序列**

▶ 如果过程还是严平稳的, 则称**严平稳序列**

- 定义过程的**均值函数**

$$m(t) = \mathbb{E}X(t), t \in T$$

- 过程的**方差函数**

$$\text{Var}(X(t)) = \mathbb{E}[X(t) - m(t)]^2, t \in T$$

- 过程的均值和方差**有可能不存在**

## 平稳过程的定义 (续)

- 对于严平稳过程, 因  $X(t) \stackrel{d}{=} X(s)$ ,  $\forall t, s \in T$  (不妨设  $s < t$ ), 则
- 如其均值存在, 则是常数, 即

$$m(t) = m(s) = m$$

- 如其方差存在, 也是常数, 即

$$\text{Var}(X(t)) = \mathbb{E}[X(t) - m]^2 = \text{Var}(X(s)) = \sigma^2$$

- 协方差函数满足

$$\mathbb{E}(X(t) - \mathbb{E}X(t))(X(s) - \mathbb{E}X(s)) = \mathbb{E}(X(t-s) - m)(X(0) - m)$$

即过程的协方差只依赖于时间差  $t-s$ , 与时间起点无关  
记  $h = t-s$ , 协方差函数可记为

$$R(h) = \mathbb{E}(X(t+h) - m)(X(t) - m) = \mathbb{E}(X(h) - m)(X(0) - m)$$

注意  $R(0) = \text{Var}(X(t))$

# 平稳过程的定义 (续)

- 定义平稳过程的**自相关函数**

$$r(h) = \mathbb{E}X(t+h)X(t)$$

## 标准自相关函数

$$\rho(h) = \frac{\mathbb{E}(X(t+h) - \mathbb{E}X(t+h))(X(t) - \mathbb{E}X(t))}{\sqrt{\text{Var}(X(t+h))\text{Var}(X(t))}} = \frac{R(h)}{\sigma^2} = \frac{R(h)}{R(0)}$$

- 这些函数值均与时间起点  $t$  无关

## 平稳过程的定义 (续)

- 标准自相关函数  $\rho(h) = \frac{R(h)}{R(0)}$  有如下性质:

$$\rho(0) = \frac{R(0)}{R(0)} = 1$$

$$|\rho(h)| \leq 1$$

- 证明: 记  $X(t+h) = Y$ ,  $X(t) = Z$ , 严平稳过程下  $Y$  与  $Z$  同分布

$$\rho(h) = \frac{\mathbb{E}(Y - \mathbb{E}Y)(Z - \mathbb{E}Z)}{\sqrt{\text{Var}Y \cdot \text{Var}Z}}$$

- 其中

$$\mathbb{E}(Y - \mathbb{E}Y)(Z - \mathbb{E}Z) = \mathbb{E}(YZ) - \mathbb{E}Y\mathbb{E}Z = \mathbb{E}(YZ) - m^2$$

$$\text{Var}Y \cdot \text{Var}Z = [\mathbb{E}Y^2 - (\mathbb{E}Y)^2][\mathbb{E}Z^2 - (\mathbb{E}Z)^2] = (\mathbb{E}Y^2 - m^2)(\mathbb{E}Z^2 - m^2)$$

## 平稳过程的定义 (续)

- 证明  $|\rho(h)| \leq 1$  等同于证明

$$[\mathbb{E}(YZ) - m^2]^2 \leq (\mathbb{E}Y^2 - m^2)(\mathbb{E}Z^2 - m^2)$$

化简得

$$\begin{aligned} & [\mathbb{E}(YZ) - m^2]^2 - (\mathbb{E}Y^2 - m^2)(\mathbb{E}Z^2 - m^2) \\ = & [\mathbb{E}(YZ)]^2 - \mathbb{E}Y^2\mathbb{E}Z^2 - m^2[2\mathbb{E}(YZ) + \mathbb{E}Y^2 + \mathbb{E}Z^2] \\ = & [\mathbb{E}(YZ)]^2 - \mathbb{E}Y^2\mathbb{E}Z^2 - m^2\mathbb{E}(Y + Z)^2 \end{aligned}$$

上式中  $-m^2\mathbb{E}(Y + Z)^2 \leq 0$

- 因此, 证明  $|\rho(h)| \leq 1$  可转化为证明其充分条件

$$[\mathbb{E}(YZ)]^2 \leq \mathbb{E}Y^2\mathbb{E}Z^2$$

- 由 **Cauchy-Schwarz 不等式** 可证得



## 平稳过程的定义 (续)

- **严平稳过程**要求**所有维有限分布**都与时间起点无关, 条件较为严格
- **前二阶矩**已能反映过程的很多概率性质, 故我们引入要求较宽松的**宽平稳过程**定义

### 定义 4.2 宽平稳过程

设  $\{X(t), t \in T\}$  是一实值随机过程. 若对  $\forall t \in T$ , 有 (i)  $\mathbb{E}X(t) = m$ , (ii)  $\mathbb{E}X^2(t) < \infty$ , 且 (iii) 协方差函数  $\mathbb{E}(X(t) - m)(X(s) - m)$  **仅与  $t - s$  有关**, 则称其为宽平稳过程.

- 若  $X(t)$  是**复值**随机过程, 只需在平稳过程的定义中将协方差函数改为  $\mathbb{E}(X(t) - m)\overline{(X(s) - m)}$ , 其中  $\overline{(X(s) - m)}$  表示  $X(s) - m$  的共轭
- 一般来说, **宽严平稳过程互不包含**. 我们已于第 1 章中证明: 对于二阶矩存在的过程, 若其是严平稳过程, 则也必是宽平稳过程
- 实平稳过程的协方差函数是偶函数, 也即

$$R(t-s) = \mathbb{E}(X(t)-m)(X(s)-m) = \mathbb{E}(X(s)-m)(X(t)-m) = R(s-t)$$

# 平稳过程的例子

## 例 4.4

- 设  $Z$  为非零随机变量, 试考察  $X(t) = tZ$ ,  $t \in T$  与  $Y(t) = Z$ ,  $t \in T$  的平稳性

解:

- 先看  $Y(t)$ , 由于  $Y(t)$  的取值与  $t$  无关

$$\begin{aligned}(Y(t_1), Y(t_2), \dots, Y(t_k)) &\stackrel{d}{=} (Z, Z, \dots, Z) \\ &\stackrel{d}{=} (Y(t_1 + h), Y(t_2 + h), \dots, Y(t_k + h))\end{aligned}$$

故过程是严平稳的

- 如果同时  $\mathbb{E}Z^2 < \infty$ , 也即过程的二阶矩存在, 则  $Y(t)$  也是宽平稳的
- 对于  $X(t)$ , 由于其一维分布关于时间已不是同分布的:

$$X(t) = tZ \neq (t+h)Z = X(t+h)$$

故过程不是严平稳的

## 平稳过程的例子 (续)

- 同时, 注意到过程的一阶矩

$$\mathbb{E}X(t) = t\mathbb{E}Z$$

- 如果  $\mathbb{E}Z \neq 0$ , 则一阶矩不是常数, 因此过程不是宽平稳的
- 如果  $\mathbb{E}Z = 0$ , 过程的协方差函数

$$\mathbb{E}(X(t) - 0)(X(s) - 0) = \mathbb{E}X(t)X(s) = ts\mathbb{E}Z^2$$

- $Z$  是非零随机变量, 故  $\mathbb{E}Z^2 > 0$
  - 从而协方差函数依赖于  $ts$  而非  $t - s$
  - $X(t)$  仍不是宽平稳的
- 
- 有没有一类过程, 其宽平稳性和严平稳性是等价的呢?

# 平稳过程的例子 (续)

## 定义 4.3 高斯 (Gauss) 过程

设  $\{G(t), -\infty < t < \infty\}$  是一随机过程, 如果对任意正整数  $k$  及  $k$  个时刻  $t_1 \leq t_2 \leq \cdots \leq t_k$ ,  $(G(t_1), G(t_2), \cdots, G(t_k))$  的联合分布为  $k$  维正态分布, 则称其为高斯过程.

- $k$  维正态分布由协方差矩阵和均值向量唯一确定
- 因此, 其概率性质只依赖于过程的一、二阶矩, 且二阶矩必然存在
- 从而, 对高斯过程而言, 宽平稳和严平稳的定义是等价的
- 以下, 我们主要研究宽平稳过程, 我们简称宽平稳过程为平稳过程

# 平稳过程的例子 (续)

## 例 4.5 平稳白噪声序列

- 设  $\{X_n, n = 0, 1, \dots\}$  是一列随机序列
- 满足

$$\mathbb{E}X_n = 0, n = 0, 1, \dots$$

$$\mathbb{E}X_n^2 = \sigma^2, n = 0, 1, \dots$$

$$\mathbb{E}X_m X_n = 0, \text{ 当 } m \neq n \text{ 时}$$

- 则  $X_n$  是一个平稳序列, 因为其协方差函数

$$\text{Cov}(X_m, X_n) = \mathbb{E}X_m X_n = \begin{cases} \sigma^2, & m - n = 0, \\ 0, & m - n \neq 0, \end{cases}$$

仅与  $m - n$  有关, 与时间起点无关

## 平稳过程的例子 (续)

### 例 4.6 三角多项式过程

- 设  $A$  和  $B$  是满足  $\mathbb{E}A = \mathbb{E}B = 0$ ,  $\text{Var}A = \text{Var}B = \sigma^2$ ,  $\text{Cov}(A, B) = \mathbb{E}AB = 0$  的随机变量
- 给定频率  $\omega \in [0, \pi]$ , 定义

$$X_t = A \cos \omega t + B \sin \omega t$$

- 则  $\{X_t, -\infty < t < \infty\}$  是一个平稳过程

证明:

- 过程的均值

$$\mathbb{E}X_t = \mathbb{E}A \cos \omega t + \mathbb{E}B \sin \omega t = 0$$

- 利用  $\mathbb{E}AB = 0$  与和角公式, 过程的协方差函数

$$\begin{aligned}\mathbb{E}X_{t+\tau}X_t &= \mathbb{E}[A \cos \omega(t+\tau) + B \sin \omega(t+\tau)][A \cos \omega t + B \sin \omega t] \\&= \mathbb{E}A^2 \cos \omega(t+\tau) \cos \omega t + \mathbb{E}B^2 \sin \omega(t+\tau) \sin \omega t \\&\quad + \mathbb{E}AB [\cos \omega(t+\tau) \sin \omega t + \sin \omega(t+\tau) \cos \omega t] \\&= \sigma^2 \cos(\omega(t+\tau) - \omega t) = \sigma^2 \cos \omega \tau\end{aligned}$$

只依赖于时间差  $\tau$

## 平稳过程的例子 (续)

- 我们可以对上述结果进行推广
- 设  $A_0, A_1, \dots, A_m, B_0, B_1, \dots, B_m$  为两两不相关的随机变量
- 且  $\mathbb{E}A_i = \mathbb{E}B_i = 0, \mathbb{E}A_i^2 = \mathbb{E}B_i^2 = \sigma_i^2, i = 0, 1, \dots, m$
- 记  $\omega_0, \omega_1, \dots, \omega_m$  为  $[0, \pi]$  中的不同频率, 定义

$$X_t = \sum_{k=0}^m (A_k \cos \omega_k t + B_k \sin \omega_k t)$$

- 则有, 过程的均值

$$\mathbb{E}X_t = \sum_{k=0}^m (\mathbb{E}A_k \cos \omega_k t + \mathbb{E}B_k \sin \omega_k t) = 0$$

- 利用之前单个  $A$ 、 $B$  时的结果, 过程的协方差函数

$$\mathbb{E}X_{t+\tau}X_t = \sum_{k=0}^m \sigma_k^2 \cos \omega_k \tau$$

只依赖于  $\tau$

## 平稳过程的例子 (续)

$$\mathbb{E}X_{t+\tau}X_t = \sum_{k=0}^m \sigma_k^2 \cos \omega_k \tau$$

- 因此, 推广后的过程, 仍然是平稳过程
- 注意到  $A_k \cos \omega_k t$  和  $B_k \sin \omega_k t$  表示, 时刻  $t$  时, 角频率为  $\omega_k$ , 随机振幅为  $A_k$  和  $B_k$  的简谐振动质点的位置
- 当随机振幅两两不相关时, 经叠加而成的过程仍是平稳过程
- 记  $\sigma^2 = \sum_{k=0}^m \sigma_k^2$  和  $p_k = \frac{\sigma_k^2}{\sigma^2}$ , 则协方差函数可写为

$$R(\tau) = \sigma^2 \sum_{k=0}^m p_k \cos \omega_k \tau$$

- 其中  $p_k$  表示频率  $\omega_k$  对协方差函数的贡献份额
- 注意到  $\{p_k, k = 0, 1, \dots, m\}$  可看作一个离散频率的概率质量函数
- 若将其推广到连续频率的形式, 则有

$$R(\tau) = \sigma^2 \int_0^\pi \cos \omega \tau dF(\omega)$$

其中  $F$  是定义在  $[0, \pi]$  上的某个连续频率的分布函数



## 平稳过程的例子 (续)

### 例 4.7 滑动平均序列

- 设  $\{\varepsilon_n, n = 0, \pm 1, \pm 2, \dots\}$  为一列**不相关的** (也即  $\text{Cov}(\varepsilon_n, \varepsilon_l) = 0, \forall n \neq l$ ), 有相同均值  $m$  和方差  $\sigma^2$  的随机变量
- $a_1, \dots, a_k$  为任意  $k$  个实数, 定义

$$X_n = \sum_{i=1}^k a_i \varepsilon_{n+1-i} = a_1 \varepsilon_n + a_2 \varepsilon_{n-1} + \dots + a_k \varepsilon_{n+1-k}$$

- 若  $\sum_{i=1}^k a_i = 1$ , 则相当于**对从  $n$  开始的最近的过去  $k$  个时刻的信号值进行加权平均**
- 过程的均值:

$$\mathbb{E}X_n = \left( \sum_{i=1}^k a_i \right) m$$

关于时间指标  $n$  是常数

## 平稳过程的例子 (续)

- 记  $\xi_i = \varepsilon_i - m$ , 则过程  $n + \tau$  时刻与  $n$  时刻的协方差函数为

$$\begin{aligned} R(n + \tau, n) &= \mathbb{E}[X_n - \mathbb{E}X_n][X_{n+\tau} - \mathbb{E}X_{n+\tau}] \\ &= \mathbb{E} \left[ \sum_{i=1}^k a_i (\varepsilon_{n+1-i} - m) \right] \left[ \sum_{j=1}^k a_j (\varepsilon_{n+\tau+1-j} - m) \right] \\ &= \mathbb{E} \left[ \sum_{i=1}^k a_i \xi_{n+1-i} \right] \left[ \sum_{j=1}^k a_j \xi_{n+\tau+1-j} \right] \\ &= \begin{cases} \sigma^2 \sum_{i=1}^{k-\tau} a_i a_{i+\tau}, & 0 \leq \tau \leq k-1 \\ 0, & \tau \geq k \end{cases} \end{aligned}$$

- 其中  $j = i + \tau$  时, 有  $\xi_{n+1-i} = \xi_{n+\tau+1-j}$ , 故  $\mathbb{E}\xi_{n+1-i}\xi_{n+\tau+1-j} = \sigma^2$
- 当  $j \neq i + \tau$  时,  $\text{Cov}(\varepsilon_n, \varepsilon_l) = 0, \forall n \neq l \Rightarrow \mathbb{E}\xi_{n+1-i}\xi_{n+\tau+1-j} = 0$
- 协方差函数只依赖于时间间隔  $\tau$ , 记为  $R(n + \tau, n) = R(\tau)$ , 故  $X_n$  是平稳过程
- 对于  $\tau < 0$ , 利用  $R(n + \tau, n) = R(n, n + \tau) = R(n - \tau, n) = R(-\tau)$
- 故有  $R(\tau) = R(-\tau) = R(|\tau|)$

## 平稳过程的例子 (续)

### 例 4.8 随机电报信号

- 设信号流  $\{X(t), t \geq 0\}$  为随机过程, 且对任意时刻  $t$  有

$$P(X(t) = I) = P(X(t) = -I) = \frac{1}{2}$$

- 在  $[t, t + \tau]$  时间内, 信号正负号变化的次数  $N$  服从速率为  $\lambda$  的 Poisson 过程, 也即

$$P(N(\tau) = k) = e^{-\lambda\tau} \frac{(\lambda\tau)^k}{k!}, \quad \lambda > 0$$

- 试讨论信号流的平稳性

解:

- 首先, 过程的均值

$$\mathbb{E}X(t) = I \cdot \frac{1}{2} + (-I) \cdot \frac{1}{2} = 0, \quad \forall t \geq 0$$

- 过程的协方差:  $\mathbb{E}X(t + \tau)X(t)$ 
  - 注意到  $X(t + \tau)X(t)$  只能取  $I^2$  或  $-I^2$  两个值
  - 接下页

## 平稳过程的例子 (续)

- 当信号在  $[t, t + \tau]$  时间段内, **变号偶数次**时, 有  $X(t + \tau)X(t) = I^2$
- 相应的概率为

$$\begin{aligned} & P(\text{信号在 } [t, t + \tau] \text{ 内变号偶数次}) \\ &= \sum_{k=0}^{\infty} P(N(t + \tau) - N(t) = 2k) = \sum_{k=0}^{\infty} P(N(\tau) = 2k) \\ &= \sum_{k=0}^{\infty} e^{-\lambda\tau} \frac{(\lambda\tau)^{2k}}{(2k)!} = e^{-\lambda\tau} \cosh(\lambda\tau) \end{aligned}$$

- 由于 **Poisson 过程的时间齐次性**, 概率只依赖于时间差  $\tau$
- 同理, 在  $[t, t + \tau]$  内**变号奇数次**时, 有  $X(t + \tau)X(t) = -I^2$  以及

$$P(\text{信号在 } [t, t + \tau] \text{ 内变号奇数次}) = e^{-\lambda\tau} \sinh(\lambda\tau)$$

## 平稳过程的例子 (续)

- 从而, 协方差函数

$$\begin{aligned} R(t + \tau, t) &= \mathbb{E}X(t + \tau)X(t) \\ &= I^2 \cdot P(\text{信号在 } [t, t + \tau] \text{ 内变号偶数次}) \\ &\quad - I^2 \cdot P(\text{信号在 } [t, t + \tau] \text{ 内变号奇数次}) \\ &= I^2 e^{-\lambda\tau} [\cosh(\lambda\tau) - \sinh(\lambda\tau)] \\ &= I^2 e^{-2\lambda\tau} \end{aligned}$$

- 对于  $\tau < 0$  时, 可以类似得到

$$\begin{aligned} R(t + \tau, t) &= R(t, t + \tau) = R(t - \tau, t) \\ &= I^2 e^{-2\lambda(-\tau)} \\ &= I^2 e^{-2\lambda|\tau|} \end{aligned}$$

- 协方差函数只与时间间隔  $\tau$  有关, 因此随机电报信号流是平稳过程
- 也可不计算具体概率, 直接利用 Poisson 过程的时间齐次性, 得出结论

# 周期平稳过程

## 定义 4.4 周期平稳过程

设  $\{X(t), t \in T\}$  为平稳过程, 若存在正常数  $\kappa$ , 使得

$$X(t + \kappa) = X(t), \quad \forall t,$$

则称过程为周期平稳过程,  $\kappa$  为过程的周期.

- 若一个过程是周期平稳过程, 则其协方差函数是周期函数, 且与过程的周期相同
- 证明:

$$\begin{aligned} R(\tau + \kappa) &= \mathbb{E}[X(t + \tau + \kappa) - m][X(t) - m] \\ &= \mathbb{E}[X(t + \tau) - m][X(t) - m] \\ &= R(\tau) \end{aligned}$$

# 周期平稳过程 (续)

## 例 4.9 周期振动

- 设  $X(t) = Y \cdot f(t)$
- 其中  $Y$  为一**实值随机变量**,  $\mathbb{E}Y = 0$ ,  $\mathbb{E}Y^2 = \sigma^2$
- $f(t)$  为一**非随机的复值函数**
- 考虑  $\{X(t), -\infty < t < \infty\}$ , 试证明其为平稳过程的充要条件是  $f(t) = Ce^{i(\lambda t + \theta)}$ , 其中  $i = \sqrt{-1}$ ,  $C, \lambda, \theta$  均为实常数 (周期为  $\frac{2\pi}{\lambda}$ )

证明:

- 验证一阶矩为常数:

$$\mathbb{E}X(t) = \mathbb{E}Y f(t) = 0, \quad -\infty < t < \infty$$

- 充分性: 若  $f(t) = Ce^{i(\lambda t + \theta)}$ , 则过程二阶矩

$$\begin{aligned}\mathbb{E}X(t + \tau)\overline{X(t)} &= \mathbb{E}Y^2 f(t + \tau)\overline{f(t)} \\ &= \sigma^2 Ce^{i[\lambda(t + \tau) + \theta]} Ce^{-i(\lambda t + \theta)} \\ &= \sigma^2 C^2 e^{i\lambda\tau}\end{aligned}$$

- 只依赖于  $\tau$ , 故是平稳过程

## 周期平稳过程 (续)

- 必要性: 若过程是平稳的, 则

$$\mathbb{E}X(t+\tau)\overline{X(t)} = \mathbb{E}Y^2 f(t+\tau)\overline{f(t)} = \sigma^2 f(t+\tau)\overline{f(t)}$$

只依赖于  $\tau$

- 也即  $f(t+\tau)\overline{f(t)}$  的取值与  $t$  无关
- 取  $\tau = 0$ , 有

$$f(t+\tau)\overline{f(t)} = |f(t)|^2$$

- 也即  $f(t)$  的模长与  $t$  无关, 是一实常数, 记为  $C$ , 故有

$$f(t) = Ce^{i\psi(t)}$$

其中  $\psi(t)$  是一实函数

- 因此, 有

$$f(t+\tau)\overline{f(t)} = C^2 e^{i[\psi(t+\tau)-\psi(t)]}$$

与  $t$  无关

- 也即  $\psi(t+\tau) - \psi(t)$  与  $t$  无关



# 周期平稳过程 (续)

- 从而

$$\frac{d}{dt}[\psi(t + \tau) - \psi(t)] = 0$$

对任意  $t$  和  $\tau$  成立

- 也就是

$$\frac{d}{dt}\psi(t + \tau) = \frac{d}{dt}\psi(t), \quad \forall t, \tau$$

- $\psi(t)$  的一阶导是常数, 记为  $\lambda$
- 解一阶微分方程  $\psi'(t) = \lambda$ , 得

$$\psi(t) = \lambda t + \theta,$$

其中  $\theta$  是一个实常数

- 所以有

$$f(t) = Ce^{i\psi(t)} = Ce^{i(\lambda t + \theta)}$$

- 必要性得证

## §4.2 遍历性定理

考虑如下两个平稳过程:

- $\{X_n, n = 0, 1, 2, \dots\}$ , 其中  $X_n$  独立同分布,  $\mathbb{E}X_n = m$
- $\{Y_n, n = 0, 1, 2, \dots\}$ , 其中  $Y_n = Y, \forall n$ ,  $Y$  是随机变量

- 对于过程  $X_n$ , 由**大数定律**可知

$$\lim_{n \rightarrow \infty} \frac{1}{n} (X_0 + X_1 + \dots + X_{n-1}) \stackrel{p}{=} m$$

- 该过程时间均值的**随机性**, **随着时间推移而不断减小**, 最终收敛于  $m$
- 而对于过程  $Y_n$ ,

$$\frac{1}{n} (Y_0 + Y_1 + \dots + Y_{n-1}) = Y$$

- 过程时间均值的**随机性**, **不随时间推移而改变**
- 因此, 在怎样的条件下, 平稳过程关于时间的平均值  $\frac{1}{n} (X_0 + X_1 + \dots + X_{n-1})$  收敛于过程的平均值  $\mathbb{E}X_n$

## 遍历性定理 (续)

- 这个问题意味着是否可以通过观测随机过程, 来估计过程的均值和协方差
- 以  $X_i(t)$  表示第  $i$  次对随机过程的观测中, 时刻  $t$  的取值
- 根据大数定律, 可以用下式来估计过程的均值  $m$

$$\hat{m}_n = \frac{1}{n} [X_1(t) + X_2(t) + \cdots + X_n(t)]$$

- 注意到这是对同一过程, 同一时刻, 进行的多次观测, 因而每次观测是独立同分布的, 因而可以运用大数定律
- 由于协方差  $\mathbb{E}X(t+\tau)X(t)$  本质上是一种期望, 可以类似地对协方差函数进行估计

$$\hat{R}_n(\tau) = \frac{1}{n} \sum_{k=1}^n [X_k(t+\tau) - \hat{m}_n][X_k(t) - \hat{m}_n]$$

- 但实践中的困难在于, 难以对随机过程的同一时刻进行多次观测
- 比较容易的是, 观测随机过程的一条样本路径

## 遍历性定理 (续)

- 我们期待, 通过**一条样本路径的观测** (而无需观测多条路径), 就可以较好地估计出  $m$  和  $R(\tau)$
- 对于一般随机过程来说, 这是难以做到的
- 例如, 记  $n$  为观测次数,  $k$  为欲估计的时刻, 当  $n \rightarrow \infty$  时, 一般来说

$$\frac{1}{n}[X_1(0) + X_1(1) + \cdots + X_1(n-1)] \quad (\text{可能趋向于某个平稳状态 } X_1(\infty))$$

$$\text{不趋向于 } \frac{1}{n}[X_1(k) + X_2(k) + \cdots + X_n(k)] \rightarrow m(k)$$

- 但对于**平稳过程**来说, 在较宽松的条件下, 就可以基于一条样本路径的观测, 得出较好的估计

### 定义 4.5 平稳过程的遍历性

设  $\{X(t), -\infty < t < \infty\}$  为一**平稳过程**, (a) 若

$$\overline{X} \triangleq \lim_{T \rightarrow \infty} \frac{1}{2T} \int_{-T}^T X(t) dt \stackrel{L_2}{=} m$$

则称过程的**均值有遍历性**.

# 遍历性定理 (续)

## 定义 4.5(续)

(b) 若

$$\hat{R}(\tau) \triangleq \lim_{T \rightarrow \infty} \frac{1}{2T} \int_{-T}^T [X(t + \tau) - m][X(t) - m] dt \stackrel{L_2}{=} R(\tau)$$

则称过程的**协方差函数有遍历性**.

(c) 若随机过程的均值和协方差函数都具有遍历性, 则称此**随机过程具有遍历性**.

- 对于平稳**序列**  $\{X(n), n = 0, \pm 1, \pm 2, \dots\}$ , 将上述定义中的  $\bar{X}$  和  $\hat{R}(\tau)$  替换为下式即可

$$\bar{X} \triangleq \lim_{N \rightarrow \infty} \frac{1}{2N+1} \sum_{k=-N}^N X(k) \stackrel{L_2}{=} m$$

$$\hat{R}(\tau) \triangleq \lim_{N \rightarrow \infty} \frac{1}{2N+1} \sum_{k=-N}^N [X(k + \tau) - m][X(k) - m] \stackrel{L_2}{=} R(\tau)$$

## 遍历性定理 (续)

- 对于**非负**随机过程 (序列), 将定义中的积分 (求和) 限制在  $[0, \infty)$ , 例如

$$\bar{X} \triangleq \lim_{T \rightarrow \infty} \frac{1}{T} \int_0^T X(t) dt \stackrel{L_2}{=} m$$

- 遍历性的直观理解: 考虑**有限状态**的平稳序列, 各状态**相互可达**

- ▷ 记其状态空间为  $E = \{e_1, e_2, \dots, e_b\}$
- ▷ 令  $A_N = \{X_n : -N \leq n \leq N\}$
- ▷ 当  $N$  足够大时,  $A_N$  中的元素几乎经历了  $E$  中的各个状态 (遍历性)
- ▷ 当  $N \rightarrow \infty$  时,  $A_N$  中元素为  $e_i$  的频率趋于  $p_i$ , 相当于平稳分布下状态  $e_i$  出现的概率
- ▷ 从而, 对  $A_N$  中的元素, 有 **按时间取均值**  $\rightarrow$  **按状态取均值**

$$\bar{X}_N = \frac{1}{2N} \sum_{n=-N}^N X_n \rightarrow \sum_{i=1}^b p_i e_i$$

- ▷ 又因为过程是平稳的, 故在**平稳分布下**按状态取均值, 等于在**任意时刻**按状态取均值, 也即

$$\bar{X}_N \rightarrow \sum_{i=1}^b p_i e_i = m$$

## 遍历性定理 (续)

- 我们已经了解了遍历性的定义, 那么在怎样的条件下, 平稳过程才具备遍历性呢?

### 定理 4.1 均值遍历性定理

(a) 设  $\{X_n, n = 0, \pm 1, \pm 2, \dots\}$  为平稳序列, 其协方差函数为  $R(\tau)$ , 则过程有**均值遍历性**的充要条件是

$$\lim_{N \rightarrow \infty} \frac{1}{N} \sum_{\tau=0}^{N-1} R(\tau) = 0.$$

(b) 设  $\{X(t), -\infty < t < \infty\}$  为平稳过程, 其协方差函数为  $R(\tau)$ , 则过程有均值遍历性的充要条件是

$$\lim_{T \rightarrow \infty} \frac{1}{T} \int_0^{2T} \left(1 - \frac{\tau}{2T}\right) R(\tau) d\tau = 0$$

# 遍历性定理 (续)

## 定理 4.1 证明

- 我们仅证明连续时间的情形, 离散时间的证明思路相同
- 记

$$\bar{X}_T = \frac{1}{2T} \int_{-T}^T X(t) dt$$

- 均值遍历性成立, 相当于随机变量  $\bar{X}_T$  均方收敛于  $m$ , 也即  $\mathbb{E}(\bar{X}_T - m)^2$  收敛于 0
- 先计算均值, 有

$$\mathbb{E}\bar{X}_T = \frac{1}{2T} \int_{-T}^T \mathbb{E}X(t) dt = m$$

- 则证明  $\bar{X}_T$  均方收敛于  $m$  等价于证  $\text{Var}\bar{X}_T$  收敛于 0, 计算方差

$$\begin{aligned} \text{Var}\bar{X}_T &= \mathbb{E}\bar{X}_T^2 - (\mathbb{E}\bar{X}_T)^2 \\ &= \mathbb{E} \left[ \frac{1}{2T} \int_{-T}^T X(t) dt \right]^2 - m^2 \quad (\text{接下页}) \end{aligned}$$



## 遍历性定理 (续)

$$\begin{aligned}\text{Var} \bar{X}_T &= \mathbb{E} \left[ \frac{1}{2T} \int_{-T}^T X(t) dt \right]^2 - m^2 \\&= \frac{1}{4T^2} \mathbb{E} \int_{-T}^T X(t) dt \int_{-T}^T X(s) ds - m^2 \\&= \frac{1}{4T^2} \mathbb{E} \int_{-T}^T \int_{-T}^T X(t) X(s) dt ds - \frac{1}{4T^2} \int_{-T}^T \int_{-T}^T m^2 dt ds \\&= \frac{1}{4T^2} \int_{-T}^T \int_{-T}^T [\mathbb{E} X(t) X(s) - m^2] dt ds \\&= \frac{1}{4T^2} \int_{-T}^T \int_{-T}^T \mathbb{E} [X(t) - m][X(s) - m] dt ds \\&= \frac{1}{4T^2} \int_{-T}^T \int_{-T}^T R(t-s) dt ds\end{aligned}$$

## 遍历性定理 (续)

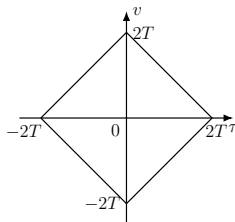
- 对式进行变量代换, 令  $\tau = t - s, v = t + s$
- 由于  $t = \frac{\tau+v}{2}, s = \frac{v-\tau}{2}$ , 积分区域由  $\{-T \leq t \leq T, -T \leq s \leq T\}$  变为  $\{-2T \leq \tau + v \leq 2T, -2T \leq \tau - v \leq 2T\}$
- 利用  $\tau-v$  关于  $t-s$  的 Jacobi 行列式, 可得  $d\tau dv = |J|dsdt$ , 其中

$$|J| = \begin{pmatrix} \frac{\partial \tau}{\partial t} & \frac{\partial \tau}{\partial s} \\ \frac{\partial v}{\partial t} & \frac{\partial v}{\partial s} \end{pmatrix} = \begin{vmatrix} 1 & -1 \\ 1 & 1 \end{vmatrix} = 2$$

- 经过变量代换, 得到

$$\text{Var} \bar{X}_T = \frac{1}{4T^2} \iint_{-2T \leq \tau \pm v \leq 2T} \frac{R(\tau)}{|J|} d\tau dv$$

- 积分区域如图所示



## 遍历性定理 (续)

- 由于  $R(\tau) = R(-\tau)$  是偶函数, 有

$$\begin{aligned}\text{Var}\bar{X}_T &= \frac{2}{4T^2} \int_0^{2T} \int_{\tau-2T}^{2T-\tau} \frac{R(\tau)}{|J|} dv d\tau \quad (\text{右半平面积分的 2 倍}) \\ &= \frac{1}{2T^2} \int_0^{2T} \frac{R(\tau)}{2} (4T - 2\tau) d\tau = \frac{1}{T} \int_0^{2T} R(\tau) \left(1 - \frac{\tau}{2T}\right) d\tau\end{aligned}$$

- 平稳过程是否具有均值遍历性, 等价于  $\lim_{T \rightarrow \infty} \text{Var}\bar{X}_T = 0$  是否成立
- 也即, 均值遍历性的等价条件为

$$\lim_{T \rightarrow \infty} \frac{1}{T} \int_0^{2T} R(\tau) \left(1 - \frac{\tau}{2T}\right) d\tau = 0$$

定理 4.1 得证

## 遍历性定理 (续)

- 基于定理 4.1, 可以推出若干判断平稳过程均值遍历性的充分条件

### 推论 4.1

对平稳过程而言, 若  $\int_{-\infty}^{\infty} |R(\tau)| d\tau < \infty$ , 则均值遍历性成立.

证明:

- 当  $0 \leq \tau \leq 2T$  时,  $|R(\tau)(1 - \frac{\tau}{2T})| \leq |R(\tau)|$
- 因此, 当  $T \rightarrow \infty$  时

$$\left| \frac{1}{T} \int_0^{2T} R(\tau) \left(1 - \frac{\tau}{2T}\right) d\tau \right| \leq \frac{1}{T} \int_0^{2T} |R(\tau)| d\tau \leq \frac{1}{T} \int_0^{\infty} |R(\tau)| d\tau \rightarrow 0$$

# 遍历性定理 (续)

## 推论 4.2

对平稳**序列**而言, 若  $\lim_{\tau \rightarrow \infty} R(\tau) = 0$ , 则均值遍历性成立.

证明: 利用定理 4.1(a), 并由 Stoltz 定理可知

$$\lim_{N \rightarrow \infty} \frac{1}{N} \sum_{t=0}^{N-1} R(\tau) = \lim_{N \rightarrow \infty} R(N-1) = 0$$

得证

- 上面我们讨论了均值遍历性, 接下来我们考虑**协方差函数  $R(\tau)$  的遍历性**
- 考虑随机过程

$$Y_{\tau}(t) = [X(t + \tau) - m][X(t) - m]$$

- 给定  $t$  时,  $Y_{\tau}(t)$  可以看作对协方差函数  $R(\tau)$  的一次采样
- 有  $\mathbb{E}Y_{\tau}(t) = R(\tau)$

## 遍历性定理 (续)

- 我们已证明, 均值遍历性等价于  $\lim_{T \rightarrow \infty} \text{Var} \bar{X}_T = 0$ , 其中

$$\bar{X}_T = \frac{1}{2T} \int_{-T}^T X(t) dt$$

- 类似地, 协方差函数遍历性, 等价于  $\lim_{T \rightarrow \infty} \text{Var} \bar{Y}_\tau^T = 0$ , 其中

$$\bar{Y}_\tau^T = \frac{1}{2T} \int_{-T}^T Y_\tau(t) dt = \frac{1}{2T} \int_{-T}^T [X(t + \tau) - m][X(t) - m] dt$$

- 通过证明  $\lim_{T \rightarrow \infty} \text{Var} \bar{Y}_\tau^T = 0$ , 我们得到如下协方差遍历性定理

# 遍历性定理 (续)

## 定理 4.2 协方差函数遍历性定理

(a) 设  $\{X(t), t \in \mathbb{R}\}$  为平稳过程, 且对于给定的  $\tau$ ,  $\{X(t)X(t+\tau), t \in \mathbb{R}\}$  是平稳过程, 则过程协方差函数有遍历性的充要条件是

$$\lim_{T \rightarrow \infty} \frac{1}{T} \int_0^{2T} (1 - \frac{\tau_1}{2T}) [B(\tau_1) - R^2(\tau)] d\tau_1 = 0,$$

其中  $B(\tau_1) = \mathbb{E}X(t + \tau + \tau_1)X(t + \tau_1)X(t + \tau)X(t)$ .

(b) 对平稳序列  $\{X(n), n = 0, \pm 1, \dots\}$ , 若  $\{X(n)X(n+\tau), n \in \mathbb{Z}\}$  是平稳过程, 则协方差函数遍历性的充要条件为

$$\lim_{N \rightarrow \infty} \frac{4}{2N+1} \sum_{i=0}^{2N} \left(1 - \frac{2i+1}{2(2N+1)}\right) [\mathbb{E}X(i+\tau)X(i)X(\tau)X(0) - R^2(\tau)] = 0$$

- 注意到过程的均值是一个常数, 而协方差  $R(\tau)$  是  $\tau$  的函数, 因此协方差函数的遍历性需在给定  $\tau$  下讨论

## 遍历性定理 (续)

- 协方差函数遍历性的验证, 牵涉到过程的**四阶混合矩**, 一般不易检验
- 而对于某些特殊过程 (如 Gauss 过程), 结论要简单的多

### 定理 4.3 Gauss 平稳过程协方差函数的遍历性

设  $\{X_n, n = 0, \pm 1, \dots\}$  是均值为 0 的 Gauss 平稳过程, 如果

$$\lim_{N \rightarrow \infty} \frac{1}{N} \sum_{k=0}^{N-1} R^2(k) = 0,$$

则其协方差函数有遍历性.

- 宽平稳的 Gauss 过程也是严平稳的
- Gauss 过程的**四阶矩也具有平稳性** (一般宽平稳过程只保证二阶矩的平稳性)
- 不再需要对任意给定  $m, \{X_n X_{n+m}, n \in \mathbb{Z}\}$  是平稳过程这一假设**
- 再利用联合 Gauss 分布的混合四阶矩满足

$$\mathbb{E}(X_1 X_2 X_3 X_4) = \mathbb{E}(X_1 X_2) \mathbb{E}(X_3 X_4) + \mathbb{E}(X_1 X_3) \mathbb{E}(X_2 X_4) + \mathbb{E}(X_1 X_4) \mathbb{E}(X_2 X_3) - 2 \mathbb{E} X_1 \mathbb{E} X_2 \mathbb{E} X_3 \mathbb{E} X_4$$



# 遍历性定理 (续)

## 例 4.10

- 设  $X(t) = a \cos(\omega t + \Theta)$ ,  $\Theta \sim U(0, 2\pi)$ ,  $\omega \neq 0$
- 则  $\{X(t), -\infty < t < \infty\}$  的均值具有遍历性
- 先验证过程是平稳的, 过程均值:

$$\mathbb{E}X(t) = \frac{1}{2\pi} \int_0^{2\pi} a \cos(\omega t + \theta) d\theta = 0$$

- 过程协方差函数:

$$\begin{aligned}\mathbb{E}X(t + \tau)X(t) &= \mathbb{E}a^2 \cos(\omega(t + \tau) + \Theta) \cos(\omega t + \Theta) \\&= \frac{a^2}{2\pi} \int_0^{2\pi} \cos(\omega(t + \tau) + \theta) \cos(\omega t + \theta) d\theta \\&= \frac{a^2}{4\pi} \int_0^{2\pi} [\cos(\omega(2t + \tau) + 2\theta) + \cos \omega\tau] d\theta \\&= \frac{a^2}{2} \cos \omega\tau\end{aligned}$$

- 协方差函数只依赖于  $\tau$ , 因此过程是平稳的

# 遍历性定理 (续)

- 再利用定理 4.1 验证遍历性

$$\begin{aligned}& \frac{1}{T} \int_0^{2T} \left(1 - \frac{\tau}{2T}\right) R(\tau) d\tau \\&= \frac{a^2}{2T} \int_0^{2T} \left(1 - \frac{\tau}{2T}\right) \cos \omega \tau d\tau \quad (\text{由于 } R(\tau) = \frac{a^2}{2} \cos \omega \tau) \\&= \frac{a^2}{2\omega T} \sin \omega \tau \Big|_{\tau=0}^{2T} - \frac{a^2}{4\omega T^2} \int_{\tau=0}^{2T} \tau d \sin \omega \tau \\&= \frac{a^2}{2\omega T} \sin 2\omega T - \frac{a^2}{4\omega T^2} \left[ 2T \sin 2\omega T - \int_0^{2T} \sin \omega \tau d\tau \right] \\&= \frac{a^2}{4\omega T^2} \int_0^{2T} \sin \omega \tau d\tau\end{aligned}$$

- 取  $T \rightarrow \infty$ , 有

$$\begin{aligned}& \lim_{T \rightarrow \infty} \left| \frac{1}{T} \int_0^{2T} \left(1 - \frac{\tau}{2T}\right) R(\tau) d\tau \right| \\& \leq \lim_{T \rightarrow \infty} \frac{a^2}{4\omega T^2} \int_0^{2T} |\sin \omega \tau| d\tau \leq \lim_{T \rightarrow \infty} \frac{a^2}{2\omega T} = 0\end{aligned}$$

- 从而, 过程具有均值遍历性

# 遍历性定理 (续)

## 例 4.11

- 设随机变量序列  $\{X_n, n = 0, \pm 1, \dots\}$  满足

$$X_n = \sum_{k=1}^m (A_k \cos \omega_k n + B_k \sin \omega_k n),$$

- ▷ 其中  $A_1, \dots, A_m, B_1, \dots, B_m$  是两两不相关的随机变量
- ▷  $\mathbb{E}A_k = \mathbb{E}B_k = 0, \mathbb{E}A_k^2 = \mathbb{E}B_k^2 = \sigma^2, 1 \leq k \leq m$
- ▷  $\omega_k \in (0, 2\pi)$

- 试考察序列均值的遍历性

解:

- 先验证序列的平稳性, 再验证均值的遍历性
- 基于例 4.6 的结果, 利用题设条件与和角公式, 可得过程是平稳的

$$\mathbb{E}X_n = 0, n = 0, \pm 1, \dots$$

$$R(n + \tau, n) = R(\tau) = \sum_{k=1}^m \sigma_k^2 \cos \omega_k \tau, n = 0, \pm 1, \dots$$

## 遍历性定理 (续)

- 再利用定理 4.1, 验证均值的遍历性

$$\begin{aligned}\frac{1}{N} \left| \sum_{\tau=0}^{N-1} R(\tau) \right| &= \frac{1}{N} \left| \sum_{\tau=0}^{N-1} \sum_{k=1}^m \sigma_k^2 \cos \omega_k \tau \right| \\ &\leq \frac{1}{N} \sum_{k=1}^m \sigma_k^2 \left| \sum_{\tau=0}^{N-1} \cos \omega_k \tau \right|\end{aligned}$$

- 由三角求和公式  $\frac{1}{2} + \cos x + \cos 2x + \cdots + \cos nx = \frac{\sin(n+1/2)x}{2 \sin(x/2)}$ , 得

$$\begin{aligned}\lim_{N \rightarrow \infty} \frac{1}{N} \left| \sum_{\tau=0}^{N-1} R(\tau) \right| &\leq \lim_{N \rightarrow \infty} \frac{1}{N} \sum_{k=1}^m \sigma_k^2 \left| \sum_{\tau=0}^{N-1} \cos \omega_k \tau \right| \\ &= \lim_{N \rightarrow \infty} \frac{1}{N} \sum_{k=1}^m \sigma_k^2 \left| \frac{1}{2} + \frac{\sin \omega_k \frac{2N-1}{2}}{2 \sin \frac{\omega_k}{2}} \right| \\ &\leq \lim_{N \rightarrow \infty} \frac{1}{N} \sum_{k=1}^m \sigma_k^2 \left[ \frac{1}{2} + \frac{1}{2 |\sin \frac{\omega_k}{2}|} \right] = 0\end{aligned}$$

因此, 过程均值有遍历性

## 例 4.12

- 回顾例 4.7 中的滑动平均序列

$$X_n = \sum_{i=1}^k a_i \varepsilon_{n+1-i} = a_1 \varepsilon_n + a_2 \varepsilon_{n-1} + \cdots + a_k \varepsilon_{n+1-k}$$

- 已算出

$$R(\tau) = \begin{cases} \sigma^2 \sum_{i=1}^{k-\tau} a_i a_{i+\tau}, & 0 \leq \tau \leq k-1 \\ 0, & \tau \geq k \end{cases}$$

- 利用推论 4.2, 有

$$\lim_{\tau \rightarrow \infty} R(\tau) = 0,$$

故序列具有均值遍历性

## 遍历性定理 (续)

### 例 4.13

- 回顾例 4.8 中的随机电报信号:  $P(X(t) = I) = P(X(t) = -I) = \frac{1}{2}$ , 且在  $[t, t + \tau]$  时间内, 信号正负号变化的次数  $N$  服从速率为  $\lambda > 0$  的 Poisson 过程
- 已算出

$$R(\tau) = I^2 e^{-2\lambda|\tau|}$$

- 利用推论 4.1 及  $R(\tau)$  是偶函数, 有

$$\int_{-\infty}^{\infty} R(\tau) d\tau = 2I^2 \int_0^{\infty} e^{-2\lambda\tau} d\tau = \frac{I^2}{\lambda} < \infty$$

- 因此, 该信号具有均值的遍历性

## 遍历性定理 (续)

- 在实际中, 很多时候过程的表达式是**未知的**
- 假设我们只观测了过程  $X(t)$  在时间段  $[0, T]$  上的一条实验记录 (样本轨道)  $x(t)$
- 基于此实验记录和遍历性理论的结果, 我们对过程的均值和协方差函数进行如下估计:

$$\hat{m}_T = \frac{1}{T} \int_0^T x(t) dt$$

$$\begin{aligned}\hat{R}_T(\tau) &= \frac{1}{T-\tau} \int_0^{T-\tau} [x(t) - \hat{m}_{T-\tau}][x(t+\tau) - \hat{m}_{T-\tau}] dt \\ &\approx \frac{1}{T-\tau} \int_0^{T-\tau} x(t)x(t+\tau) dt - \hat{m}_{T-\tau}^2, \quad 0 \leq \tau < T\end{aligned}$$

- 进一步来说, 实践中的采样过程通常是**离散的**
- 此时, 我们将采样时段  $[0, T]$  等分为  $N$  个长度为  $\Delta t = \frac{T}{N}$  的时间间隔, 然后在时刻  $t_k = (k - \frac{1}{2})\Delta t$ ,  $k = 1, 2, \dots, N$  进行采样
- 得到  $N$  个样本, 记为  $x_k = x(t_k)$ ,  $k = 1, 2, \dots, N$

## 遍历性定理 (续)

- 进行离散采样后, 上述连续形式的估计函数, 可以如下离散形式近似 (也即用求和号替代积分号)
- 均值:

$$\hat{m}_T = \frac{1}{T} \int_0^T x(t) dt \approx \frac{1}{T} \sum_{k=1}^N x_k \Delta t = \frac{1}{N} \sum_{k=1}^N x_k$$

- 协方差函数, 当  $\tau_r = r \Delta t$  时:

$$\begin{aligned} \hat{R}_T(\tau_r) &\approx \frac{1}{T - \tau_r} \int_0^{T - \tau_r} x(t)x(t + \tau_r) dt - \hat{m}_{T - \tau_r}^2 \\ &\approx \frac{1}{T - \tau_r} \sum_{k=1}^{N-r} x_k x_{k+r} \Delta t - \left[ \frac{1}{T - \tau_r} \sum_{k=1}^{N-r} x_k \Delta t \right]^2 \\ &= \frac{1}{N - r} \sum_{k=1}^{N-r} x_k x_{k+r} - \left[ \frac{1}{N - r} \sum_{k=1}^{N-r} x_k \right]^2 \end{aligned}$$



## 遍历性定理 (续)

- 上述估计公式, 很容易用计算机实现
- 需要注意**采样间隔  $\Delta t$  的选择**
  - ▷ 原则上来说,  $\Delta t$  越小, 级数逼近积分的效果越好
  - ▷ 但由于技术原因 (成本和精度等), 通常无法取到很小

### 采样定理

如果  $\{x(t), 0 \leq t \leq T\}$  的 Fourier 变换  $H(j\omega)$  有截止角频率  $\omega_c$ , 则当**采用间隔  $\Delta t \leq \frac{\pi}{\omega_c}$**  时,  $\{x_k = x((k - \frac{1}{2})\Delta t), k = 1, 2, \dots, N\}$  可代表函数  $x(t)$  在  $[0, T]$  上的**全部信息**.

- ▷ **截止角频率  $\omega_c$**  指的是, 在频率域上,  $\omega \leq \omega_c$  时  $H(j\omega)$  非零,  $\omega > \omega_c$  时  $H(j\omega) = 0$
- ▷ 采样间隔  $\Delta t \leq \frac{\pi}{\omega_c}$  的等价表述为, 采样次数  $N \geq \frac{\omega_c}{\pi T}$
- ▷  $j = \sqrt{-1}$  是单位虚数
- 在工程实践中遇到的平稳过程
  - ▷ 遍历性定理所需的条件一般都能满足
  - ▷ 但验证比较困难, 所以通常**先假设过程具有遍历性**, 再检验假设是否合理

# 遍历性定理 (续)

- 平稳过程遍历性的应用

- ▶ 通过一次样本轨道, 估计过程的均值和协方差函数
- ▶ 求解电子系统中信号和噪声过程的**直流分量**、**平均功率**

例如:

- 若  $X(t)$  表示**噪声电压** (或电流)
- $x(t)$  表示某次观测到的噪声电压
- 若过程有遍历性, 噪声电压的**直流分量**为

$$m = \lim_{T \rightarrow \infty} \frac{1}{T} \int_0^T x(t) dt$$

- 噪声电压消耗在 1 欧姆上的**交流功率**为

$$\sigma^2 = R(0) = \lim_{T \rightarrow \infty} \frac{1}{T} \int_0^T [x(t) - m]^2 dt$$

其中  $\sigma$  也是电压的有效值

## §4.3 协方差函数与功率谱密度

- 类似于确定性信号, 对平稳的随机信号, 我们可以利用 **Fourier 变换**, 在**频率域**上研究其性质
- 本节我们讨论平稳过程**协方差函数**  $R(\tau) = \mathbb{E}[X(t+\tau)-m][X(t)-m]$  及其对应频率域上的结构**功率谱密度**  $S(\omega) = \int R(\tau)e^{-j\omega\tau}d\tau$
- 讨论对**自相关函数**  $r(\tau) = \mathbb{E}X(t+\tau)X(t)$  同样适用, 当  $m = 0$  时, 自相关函数即是协方差函数
- 在 4.1 节中, 我们已证明**实平稳过程**的协方差函数具有如下性质
  - ▷ **对称性**:  $R(-\tau) = R(\tau)$
  - ▷ **有界性**:  $|R(\tau)| \leq R(0)$
  - ▷ 此外, 还有**非负定性**:  $\mathbf{a}^T \Sigma \mathbf{a} \geq 0$ , 其中  $\mathbf{a} = [a_1, a_2, \dots, a_N]^T$  为任意实数向量,  $t_1, t_2, \dots, t_N$  为任意时刻,

$$\Sigma = \begin{pmatrix} \text{Cov}(X(t_1), X(t_1)) & \text{Cov}(X(t_1), X(t_2)) & \cdots & \text{Cov}(X(t_1), X(t_N)) \\ \text{Cov}(X(t_2), X(t_1)) & \text{Cov}(X(t_2), X(t_2)) & \cdots & \text{Cov}(X(t_2), X(t_N)) \\ \vdots & \vdots & \ddots & \vdots \\ \text{Cov}(X(t_N), X(t_1)) & \text{Cov}(X(t_N), X(t_2)) & \cdots & \text{Cov}(X(t_N), X(t_N)) \end{pmatrix}$$

# 协方差函数

非负定性的证明:

- 根据协方差定义, 有

$$\text{Cov}(X(t_n), X(t_k)) = \mathbb{E}[X(t_n) - m][X(t_k) - m]$$

- 从而

$$\begin{aligned}\mathbf{a}^T \Sigma \mathbf{a} &= \sum_{n=1}^N \sum_{k=1}^N a_n a_k \text{Cov}(X(t_n), X(t_k)) \\&= \sum_{n=1}^N \sum_{k=1}^N \mathbb{E} a_n [X(t_n) - m] a_k [X(t_k) - m] \\&= \mathbb{E} \left[ \sum_{n=1}^N a_n [X(t_n) - m] \right] \left[ \sum_{k=1}^N a_k [X(t_k) - m] \right] \\&= \mathbb{E} \left[ \sum_{n=1}^N a_n [X(t_n) - m] \right]^2 \geq 0\end{aligned}$$

- 非负定性得证

# 协方差函数 (续)

## 定义 平稳过程的均方导数

对于平稳过程  $\{X(t), t \in T\}$ , 如果存在随机变量  $Y(t)$ , 使得

$$\lim_{h \rightarrow 0} \mathbb{E} \left| \frac{X(t+h) - X(t)}{h} - Y(t) \right|^2 = 0,$$

则称  $Y(t)$  为过程  $X(t)$  在  $t$  点的**均方导数**, 简称导数, 记作  $X'(t)$  或  $\frac{dX(t)}{dt}$ .

## 平稳过程均方导数存在的充要条件

平稳过程均方导数存在的**充要条件**是二重极限

$$\lim_{h \rightarrow 0, k \rightarrow 0} \frac{R(0) - R(h) - R(k) + R(h-k)}{hk} \text{ 存在且有限}$$

证明: 见下页

## 协方差函数 (续)

- 根据均方收敛准则,  $\lim_{h \rightarrow 0} \mathbb{E} \left| \frac{X(t+h) - X(t)}{h} - Y(t) \right|^2 = 0$  等价于

$$\lim_{h \rightarrow 0, k \rightarrow 0} \mathbb{E} \frac{X(t+h) - X(t)}{h} \cdot \frac{X(t+k) - X(t)}{k} \quad \text{存在且有限}$$

- 进一步地, 对于**平稳过程**, 有

$$\begin{aligned} & \mathbb{E} \frac{X(t+h) - X(t)}{h} \cdot \frac{X(t+k) - X(t)}{k} \\ = & \frac{\mathbb{E}[X(t+h) - m - (X(t) - m)][X(t+k) - m - (X(t) - m)]}{hk} \\ = & \frac{R(t+h, t+k) - R(t, t+k) - R(t+h, t) + R(t, t)}{hk} \\ = & \frac{R(h-k) - R(k) - R(h) + R(0)}{hk} \quad (\text{协方差只取决于时间差}) \end{aligned}$$

- 得证

## 协方差函数 (续)

- 假定平稳过程  $X(t)$  是  $n$  阶均方可导的, 且其协方差函数  $2n$  阶可导, 则过程  $n$  阶导的协方差函数有如下性质:

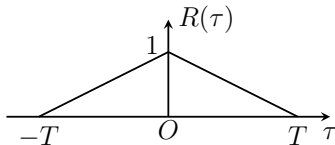
$$\text{Cov}(X^{(n)}(t), X^{(n)}(t + \tau)) = (-1)^n R^{(2n)}(\tau)$$

# 协方差函数 (续)

一些工程中常见的协方差函数 (教材 表 4.1)

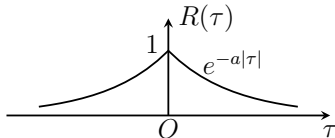
(1) 线性型: 
$$R(\tau) = \begin{cases} 1 - \frac{|\tau|}{T}, & |\tau| \leq T, \\ 0, & |\tau| > T \end{cases}$$

- ▷ 在  $\tau = 0$  处连续, 但不可微
- ▷ 由前述充要条件可知, 均方导数  $X'(t)$  不存在



(2) 指数型: 
$$R(\tau) = e^{-a|\tau|}, \quad a > 0$$

- ▷ 在  $\tau = 0$  处连续不可微,  $X'(t)$  不存在
- ▷ 除 0 点外是凸函数 (二阶导为正)

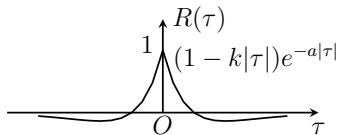




## 协方差函数 (续)

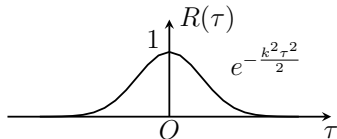
(4) 线性指数混合型:  $R(\tau) = (1 - k|\tau|)e^{-k|\tau|}$ ,  $k > 0$

- ▷ 当  $|\tau| > \frac{1}{k}$  时,  $R(\tau)$  取负值, 且在  $|\tau| = \frac{2}{k}$  时取到最小值
- ▷ 在  $\tau = 0$  处连续不可微,  $X'(t)$  不存在



(5) 正态型:  $R(\tau) = e^{-\frac{k^2\tau^2}{2}}$

- ▷ 函数形式与均值为 0, 方差为  $\frac{1}{k}$  的正态密度函数仅相差一个常数因子
- ▷ 在  $\tau = 0$  处任意次可微,  $X^{(n)}(t)$  存在



# 几种常见随机信号的协方差函数

## 例 1 振幅调制波:

- 设  $\{Y(t), t \in \mathbb{R}\}$  是一个**零均值**的实平稳过程
- 则  $\{Z(t) = Y(t)e^{j\lambda_0 t}, t \in \mathbb{R}\}$  是一复平稳过程, 证明见协方差函数
  - ▷ 其中  $\lambda_0$  代表角频率, 是一个实数
  - ▷  $j = \sqrt{-1}$  代表单位虚数
- 称  $Z(t)$  是由  $Y(t)$  确定的**振幅调制信号**
- 以  $R_Z(\tau)$  和  $R_Y(\tau)$  分别表示过程  $Z$  和  $Y$  的协方差函数, 则有

$$\begin{aligned} R_Z(\tau) &\triangleq \mathbb{E}Z(t+\tau)\overline{Z(t)} \\ &= \mathbb{E}Y(t+\tau)e^{j\lambda_0(t+\tau)}\overline{Y(t)e^{j\lambda_0 t}} = R_Y(\tau)e^{j\lambda_0 \tau} \end{aligned}$$

- 协方差函数只依赖于  $\tau$ , 故过程是平稳的
- 注意对于复平稳过程, 我们定义

$$R_Z(\tau) \triangleq \mathbb{E}Z(t+\tau)\overline{Z(t)} \neq \mathbb{E}Z(t)\overline{Z(t+\tau)}$$

- ▷ 上述不等号两边的式子互为共轭
- 复平稳过程的协方差函数是**共轭对称函数**(通常不再是偶函数)

$$R(\tau) = \mathbb{E}Z(t+\tau)\overline{Z(t)} = \mathbb{E}Z(t)\overline{Z(t-\tau)} = \overline{\mathbb{E}Z(t-\tau)\overline{Z(t)}} = \overline{R(-\tau)}$$

# 几种常见随机信号的协方差函数 (续)

实振幅调制波:

- 实数形式的振幅调制波:

$$X(t) = Y(t) \cos(\omega t + \Theta), \quad t \in \mathbb{R}$$

- 其中随机相位  $\Theta \sim U[0, 2\pi]$ , 且与  $Y(t)$  独立
- 当  $\mathbb{E}Y(t) = 0$  时, 协方差函数为

$$\begin{aligned} R_X(\tau) &= \mathbb{E}X(t)X(t+\tau) \\ &= \mathbb{E}Y(t) \cos(\omega t + \Theta) Y(t+\tau) \cos(\omega(t+\tau) + \Theta) \\ &= \mathbb{E}Y(t)Y(t+\tau) \mathbb{E} \cos(\omega t + \Theta) \cos(\omega(t+\tau) + \Theta) \\ &= R_Y(\tau) \mathbb{E} \frac{\cos(\omega t + \Theta + [\omega(t+\tau) + \Theta]) + \cos(\omega t + \Theta - [\omega(t+\tau) + \Theta])}{2} \\ &= \frac{1}{2} R_Y(\tau) \cos \omega \tau \end{aligned}$$

其中由于  $\Theta \sim U[0, 2\pi]$ , 有  $\mathbb{E} \cos(\omega t + \Theta + [\omega(t+\tau) + \Theta]) = 0$

- 协方差函数只依赖于  $\tau$ , 故  $X(t)$  是平稳过程

# 几种常见随机信号的协方差函数 (续)

## 例 2 频率调制波:

- 设  $\{Y(t), t \in \mathbb{R}\}$  是零均值的平稳 Gauss 过程
  - ▷  $\text{Var}Y(t) = \mathbb{E}^2 Y(t) = R_Y(0)$
  - ▷ 因此,  $Y(t) \sim N(0, R_Y(0))$
- 由  $Y(t)$  确定的相位调制信号为

$$X(t) = \cos Y(t), t \in \mathbb{R}$$

- 求过程均值, 运用 Euler 公式

$$\mathbb{E}X(t) = \mathbb{E} \cos Y(t) = \mathbb{E} \frac{e^{jY(t)} + e^{-jY(t)}}{2}$$

- 利用特征函数求解. 类似矩母函数, 随机变量  $Z$  的特征函数定义为

$$g(a) = \mathbb{E}e^{jaZ}$$

## 几种常见随机信号的协方差函数 (续)

- 查表知, 服从  $N(\mu, \sigma^2)$  随机变量的特征函数为

$$g(a) = e^{j\mu a - \frac{1}{2}\sigma^2 a^2}$$

- 由于  $Y(t)$  服从  $N(0, R_Y(0))$ , 因此,  $\mathbb{E}e^{jY(t)} = g(1) = e^{-\frac{1}{2}R_Y(0)}$
- 由于特征函数满足性质  $g(-a) = \overline{g(a)}$ , 因此,

$$\mathbb{E}e^{-jY(t)} = \overline{g(-1)} = e^{-\frac{1}{2}R_Y(0)}$$

- 从而有

$$\mathbb{E}X(t) = \mathbb{E}\frac{e^{jY(t)} + e^{-jY(t)}}{2} = e^{-\frac{1}{2}R_Y(0)}$$

- 再计算协方差函数, 注意  $X(t)$  是实值随机过程

$$\begin{aligned}\mathbb{E}X(t)X(t+\tau) &= \mathbb{E}\frac{[e^{jY(t)} + e^{-jY(t)}][e^{jY(t+\tau)} + e^{-jY(t+\tau)}]}{4} \\ &= \mathbb{E}\frac{e^{j[Y(t)+Y(t+\tau)]} + e^{j[Y(t)-Y(t+\tau)]} + e^{-j[Y(t)-Y(t+\tau)]} + e^{-j[Y(t)+Y(t+\tau)]}}{4}\end{aligned}$$

## 几种常见随机信号的协方差函数 (续)

- 根据定义 4.3 中 Gauss 过程的定义,  $(Y(t), Y(t + \tau))$  的联合分布服从二维正态分布, 即

$$\begin{pmatrix} Y(t) \\ Y(t + \tau) \end{pmatrix} \sim N \left( \begin{pmatrix} 0 \\ 0 \end{pmatrix}, \begin{pmatrix} R_Y(0) & R_Y(\tau) \\ R_Y(\tau) & R_Y(0) \end{pmatrix} \right)$$

根据二维正态分布  $N(\mu_1, \sigma_1; \mu_2, \sigma_2; \rho)$  的特征函数

$$g(a_1, a_2) = e^{j(\mu_1 a_1 + \mu_2 a_2) - \frac{1}{2}(\sigma_1^2 a_1^2 + 2\sigma_1 \sigma_2 \rho a_1 a_2 + \sigma_2^2 a_2^2)}$$

$(Y(t), Y(t + \tau))$  的特征函数可以表示为

$$g(a_1, a_2) = e^{-\frac{1}{2}[R_Y^2(0)a_1^2 + 2R_Y(\tau)a_1 a_2 + R_Y^2(0)a_2^2]}$$

- 根据二维随机变量特征函数的性质, 随机变量  $b_1 Y_t + b_2 Y(t + \tau)$  的特征函数满足

$$g(a) = \mathbb{E} e^{j[b_1 Y(t) + b_2 Y(t + \tau)]} = g(b_1 a, b_2 a)$$

# 几种常见随机信号的协方差函数 (续)

- 因此, 有

$$\mathbb{E}e^{j[Y(t)+Y(t+\tau)]} = g(1, 1) = e^{-[R_Y(0)+R_Y(\tau)]}$$

$$\mathbb{E}e^{-j[Y(t)+Y(t+\tau)]} = g(-1, -1) = e^{-[R_Y(0)+R_Y(\tau)]}$$

$$\mathbb{E}e^{j[Y(t)-Y(t+\tau)]} = g(1, -1) = e^{-[R_Y(0)-R_Y(\tau)]}$$

$$\mathbb{E}e^{-j[Y(t)-Y(t+\tau)]} = g(-1, 1) = e^{-[R_Y(0)-R_Y(\tau)]}$$

$$\begin{aligned} & \mathbb{E}X(t)X(t+\tau) \\ = & \mathbb{E} \frac{e^{j[Y(t)+Y(t+\tau)]} + e^{j[Y(t)-Y(t+\tau)]} + e^{-j[Y(t)-Y(t+\tau)]} + e^{-j[Y(t)+Y(t+\tau)]}}{4} \\ = & e^{-R_Y(0)} \frac{e^{R_Y(\tau)} + e^{-R_Y(\tau)}}{2} \\ = & e^{-R_Y(0)} \cosh(R_Y(\tau)) \end{aligned}$$

- 过程  $X(t)$  的协方差函数

$$R_X(\tau) = \mathbb{E}X(t)X(t+\tau) - [\mathbb{E}X(t)]^2 = e^{-R_Y(0)}[\cosh(R_Y(\tau)) - 1]$$

只依赖于  $\tau$ , 因此  $X(t) = \cos Y(t)$  是平稳过程

# 几种常见随机信号的协方差函数 (续)

## 例 3 平方检波:

- 设  $\{Y(t), t \in \mathbb{R}\}$  是均值为 0 的平稳 Gauss 过程
- 令  $X(t) = Y^2(t), t \in \mathbb{R}$
- 则有

$$\mathbb{E}X(t) = \mathbb{E}Y^2(t) = \mathbb{E}Y^2(0) = R_Y(0)$$

$$\mathbb{E}X(t)X(t+\tau) = \mathbb{E}Y^2(t)Y^2(t+\tau)$$

- 利用 Gauss 过程四阶混合矩公式

$$\begin{aligned}\mathbb{E}(X_1X_2X_3X_4) &= \mathbb{E}(X_1X_2)\mathbb{E}(X_3X_4) + \mathbb{E}(X_1X_3)\mathbb{E}(X_2X_4) \\ &\quad + \mathbb{E}(X_1X_4)\mathbb{E}(X_2X_3) - 2\mathbb{E}X_1\mathbb{E}X_2\mathbb{E}X_3\mathbb{E}X_4\end{aligned}$$

- 计算可得  $R_X(\tau) = 2R_Y^2(\tau)$



# 功率谱密度

- 本小节我们研究协方差函数的**频率结构**
- 我们先介绍确定性时间函数的**能量**、**能谱密度**、**功率谱**的概念
- 设  $x(t)$  是以  $2T$  为周期的函数, 且在  $[-T, T]$  上只有有限个第一类间断点 (左右极限都存在)
- 则  $x(t)$  有 **Fourier 展开**

$$x(t) = \sum_{n=-\infty}^{\infty} A(n)e^{jn\omega t},$$

其中  $\omega = \frac{2\pi}{2T} = \frac{\pi}{T}$ ,

$$A(n) = \frac{1}{2T} \int_{-T}^T x(t)e^{-jn\omega t} dt$$

- 系数  $A(n)$  一般为复数, 由定义知其具有**共轭对称性**

$$\overline{A(-n)} = \frac{1}{2T} \int_{-T}^T x(t)e^{j(-n)\omega t} dt = A(n)$$

## 功率谱密度 (续)

- 系数  $A(n) = \frac{1}{2T} \int_{-T}^T x(t) e^{-jn\omega t} dt$ 
  - 通常, 将  $\frac{1}{2}A(0)$  称为**直流分量**
  - $|A(1)| = |A(-1)|$  称为**基波**  $\omega$  的振幅
  - $|A(n)| = |A(-n)|$  称为**谐波**  $n\omega$  的振幅
- 将  $x(t)$  在一个周期  $[-T, T]$  上的能量, 按频率进行分解
  - 可将  $x(t)$  看作加在 1 欧姆电阻上的**电压**
- 若**周期信号**一周期的总能量有限, 也即

$$\int_{-T}^T x^2(t) dt < \infty$$

则 **Parseval 等式**成立:

$$\int_{-T}^T x^2(t) dt = 2T \sum_{n=-\infty}^{\infty} |A(n)|^2$$

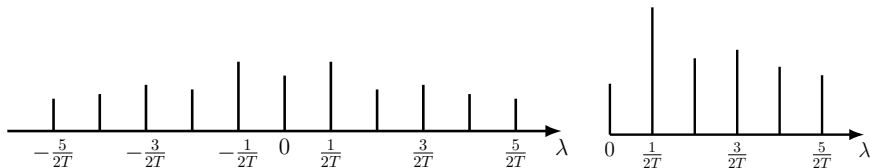
即

$$\frac{1}{2T} \int_{-T}^T x^2(t) dt = \sum_{n=-\infty}^{\infty} |A(n)|^2$$

- 平均功率 = 直流、基波和各谐波的功率和**

## 功率谱密度 (续)

- 记  $\omega_n = n\omega = 2\pi \frac{n}{2T}$  为各谐波的角频率,  $\lambda_n = \frac{\omega_n}{2\pi} = \frac{n}{2T}$  为线频率
- 下图是  $x(t)$  功率谱的示例: 左图为功率谱, 右图为半功率谱



- 除 0 外, 半功率谱的值为功率谱在同处的两倍
- 上述信号是周期的, 功率谱是离散的

## 功率谱密度 (续)

- 对于非周期信号, 如果总能量  $\int_{-\infty}^{\infty} x^2(t)dt < \infty$ , 则  $x(t)$  的 Fourier 变换存在, 频谱为

$$F(\omega) = \int_{-\infty}^{\infty} x(t)e^{-j\omega t}dt$$

- $F(\omega) = \overline{F(-\omega)}$ , 是非离散的, 且 Parseval 等式仍然成立

$$\int_{-\infty}^{\infty} x^2(t)dt = \frac{1}{2\pi} \int_{-\infty}^{\infty} |F(\omega)|^2 d\omega$$

- $|F(\omega)|^2$  称为能量谱密度

## 功率谱密度 (续)

- 总能量有限的信号, 称为**能量型信号**, 也即  $\int_{-\infty}^{\infty} x^2(t)dt < \infty$
- 总能量无限但平均功率有限**的信号, 称为**功率型信号**, 也即

$$P = \lim_{T \rightarrow \infty} \frac{1}{2T} \int_{-T}^T x^2(t)dt < \infty$$

- 正弦信号、平稳过程的样本函数等都不是能量型信号, 但正弦信号显然是功率型信号
- 为利用 Fourier 变换, 求出平均功率的谱表达式, 我们引入如下记号

$$x_T(t) = \begin{cases} x(t), & |t| \leq T, \\ 0, & |t| > T \end{cases}$$

- 由于**区间有限**,  $x_T(t)$  的总能量总是有限的, 因此 **Fourier 变换存在**, 记为

$$F(\omega, T) = \int_{-\infty}^{\infty} x_T(t)e^{-j\omega t}dt$$

## 功率谱密度 (续)

- 对于  $x_T(t)$ , Parseval 等式成立

$$\int_{-\infty}^{\infty} x_T^2(t) dt = \frac{1}{2\pi} \int_{-\infty}^{\infty} |F(\omega, T)|^2 d\omega$$

- $x(t)$  的**平均功率**可表示为

$$\lim_{T \rightarrow \infty} \frac{1}{2T} \int_{-\infty}^{\infty} x_T^2(t) dt = \frac{1}{2\pi} \lim_{T \rightarrow \infty} \int_{-\infty}^{\infty} \frac{1}{2T} |F(\omega, T)|^2 d\omega$$

- 记

$$S(\omega) = \lim_{T \rightarrow \infty} \frac{1}{2T} |F(\omega, T)|^2$$

- 如果  $S(\omega)$  存在 (Lebesgue 控制收敛定理), 则平均功率中的**极限号**和**积分号可交换**, 也即

$$\lim_{T \rightarrow \infty} \int_{-\infty}^{\infty} \frac{1}{2T} |F(\omega, T)|^2 d\omega = \int_{-\infty}^{\infty} \lim_{T \rightarrow \infty} \frac{1}{2T} |F(\omega, T)|^2 d\omega = \int_{-\infty}^{\infty} S(\omega) d\omega$$

## 功率谱密度 (续)

- 在可交换的前提下, 平均功率

$$\begin{aligned} \lim_{T \rightarrow \infty} \frac{1}{2T} \int_{-T}^T x^2(t) dt &= \lim_{T \rightarrow \infty} \frac{1}{2T} \int_{-T}^T x_T^2(t) dt \\ &= \lim_{T \rightarrow \infty} \frac{1}{2T} \int_{-\infty}^{\infty} x_T^2(t) dt = \lim_{T \rightarrow \infty} \frac{1}{2\pi} \int_{-\infty}^{\infty} \frac{1}{2T} |F(\omega, T)|^2 d\omega \\ &= \frac{1}{2\pi} \int_{-\infty}^{\infty} S(\omega) d\omega \end{aligned}$$

- 我们称  $S(\omega)$  为  $x(t)$  的**平均功率谱密度**
- $S(\omega)\Delta\omega$  表示  $x(t)$  的频率在  $[\omega, \omega + \Delta\omega]$  的成分, 对  $x(t)$  总功率的贡献
- 在  $S(\omega)$  存在的假设下, 我们将确定性函数的平均功率谱密度的概念, 推广到平稳 (**随机**) 过程上

## 功率谱密度 (续)

- 设  $\{X(t), -\infty < t < \infty\}$  为平稳过程, 对其每条样本轨道, 有

$$F(\omega, T) = \int_{-T}^T X(t) e^{-j\omega t} dt$$

- 注意到  $F(\omega, T)$  是一个随机变量
- 相应的 Parseval 等式为

$$\frac{1}{2T} \int_{-T}^T X^2(t) dt = \frac{1}{2\pi} \int_{-\infty}^{\infty} \frac{1}{2T} |F(\omega, T)|^2 d\omega$$

- 定义过程  $X(t)$  的平均功率谱密度为 (若存在)

$$S(\omega) = \lim_{T \rightarrow \infty} \mathbb{E} \frac{1}{2T} |F(\omega, T)|^2$$

- 定义过程的平均功率为 (假设期望和无穷积分可交换)

$$P = \lim_{T \rightarrow \infty} \mathbb{E} \left[ \frac{1}{2T} \int_{-T}^T X^2(t) dt \right] = \lim_{T \rightarrow \infty} \frac{1}{2\pi} \mathbb{E} \int_{-\infty}^{\infty} \frac{1}{2T} |F(\omega, T)|^2 d\omega = \frac{1}{2\pi} \int_{-\infty}^{\infty} S(\omega) d\omega$$



## 功率谱密度 (续)

- 为表示方便, 假设  $\mathbb{E}X(t) = 0$
- 对于**平稳过程**, 有  $\mathbb{E}X^2(t) = R(0)$ , 可得**平均功率**

$$\begin{aligned}P &= \lim_{T \rightarrow \infty} \mathbb{E} \left[ \frac{1}{2T} \int_{-T}^T X^2(t) dt \right] \\&= \lim_{T \rightarrow \infty} \frac{1}{2T} \int_{-T}^T \mathbb{E}X^2(t) dt \\&= \lim_{T \rightarrow \infty} \frac{1}{2T} \int_{-T}^T R(0) dt = R(0)\end{aligned}$$

- 利用 Parseval 等式, 有 (假设极限期望与无穷积分可交换)

$$\begin{aligned}R(0) &= \lim_{T \rightarrow \infty} \mathbb{E} \left[ \frac{1}{2T} \int_{-T}^T X^2(t) dt \right] = \lim_{T \rightarrow \infty} \mathbb{E} \frac{1}{2\pi} \int_{-\infty}^{\infty} \frac{1}{2T} |F(\omega, T)|^2 d\omega \\&= \frac{1}{2\pi} \int_{-\infty}^{\infty} \lim_{T \rightarrow \infty} \mathbb{E} \frac{1}{2T} |F(\omega, T)|^2 d\omega = \frac{1}{2\pi} \int_{-\infty}^{\infty} S(\omega) d\omega\end{aligned}$$

- 上式称为平稳过程的**平均功率的谱表示式**
- 当平稳过程协方差函数满足  $\int_{-\infty}^{\infty} |R(\tau)| d\tau < \infty$  时, 上述运算次序交换都是合法的

## 功率谱密度 (续)

平均功率谱密度:  $S(\omega) = \lim_{T \rightarrow \infty} \mathbb{E} \frac{1}{2T} \left| \int_{-T}^T X(t) e^{-j\omega t} dt \right|^2$

- 由  $S(\omega)$  定义式可知

- ▷  $S(\omega) \geq 0$

- ▷  $S(\omega) = \overline{S(\omega)}$ , 是实数

- ▷  $S(\omega) = S(-\omega)$ , 是偶函数

- $S(\omega)$  和自相关函数  $r(\tau)$  (也即  $\mathbb{E}X(t) = 0$  时的  $R(\tau)$ ) 是一对 Fourier 变换

### 定理 4.4 Wiener-Khintchine 公式

假设  $\mathbb{E}X(t) = 0$  且  $\int_{-\infty}^{\infty} |R(\tau)| d\tau < \infty$ , 则

$$S(\omega) = \int_{-\infty}^{\infty} R(\tau) e^{-j\omega\tau} d\tau$$

$$R(\tau) = \frac{1}{2\pi} \int_{-\infty}^{\infty} S(\omega) e^{j\omega\tau} d\omega$$

# 功率谱密度 (续)

## 定理 4.4 证明

- 由  $\mathbb{E}X(t) = 0$ , 有  $R(t-s) = \text{Cov}(X(t), X(s)) = \mathbb{E}X(t)X(s)$ , 从而

$$\begin{aligned} S(\omega) &= \lim_{T \rightarrow \infty} \mathbb{E} \frac{1}{2T} \left| \int_{-T}^T X(t) e^{-j\omega t} dt \right|^2 \\ &= \lim_{T \rightarrow \infty} \frac{1}{2T} \mathbb{E} \int_{-T}^T X(t) e^{-j\omega t} dt \overline{\int_{-T}^T X(s) e^{-j\omega s} ds} \\ &= \lim_{T \rightarrow \infty} \frac{1}{2T} \int_{-T}^T \int_{-T}^T \mathbb{E} X(t) X(s) e^{-j\omega(t-s)} dt ds \\ &= \lim_{T \rightarrow \infty} \frac{1}{2T} \int_{-T}^T \int_{-T}^T R(t-s) e^{-j\omega(t-s)} dt ds \end{aligned}$$

- 仿照定理 4.1 的证明, 进行变量代换  $u = t + s$ ,  $\tau = t - s$ , Jacobi 行列式  $|J| = 2$

## 功率谱密度 (续)

- 代换后, **积分区域**变为  $D_1 = \{-2T \leq u + \tau \leq 2T, -2T \leq u - \tau \leq 2T\}$

$$\begin{aligned} S(\omega) &= \lim_{T \rightarrow \infty} \frac{1}{2T} \int \int_{D_1} R(\tau) e^{-j\omega\tau} \frac{1}{|J|} du d\tau \\ &= \lim_{T \rightarrow \infty} \frac{1}{4T} \int_{-2T}^{2T} \int_{-2T+|\tau|}^{2T-|\tau|} R(\tau) e^{-j\omega\tau} du d\tau \\ &= \lim_{T \rightarrow \infty} \int_{-2T}^{2T} \frac{4T - 2|\tau|}{4T} R(\tau) e^{-j\omega\tau} d\tau \end{aligned}$$

- 定义  $R_T(\tau) = \begin{cases} \frac{2T-|\tau|}{2T} R(\tau), & |\tau| \leq 2T, \\ 0, & |\tau| > 2T, \end{cases}$  由题设可交换极限和积分号, 得

$$\begin{aligned} S(\omega) &= \lim_{T \rightarrow \infty} \int_{-2T}^{2T} R_T(\tau) e^{-j\omega\tau} d\tau = \lim_{T \rightarrow \infty} \int_{-\infty}^{\infty} R_T(\tau) e^{-j\omega\tau} d\tau \\ &= \int_{-\infty}^{\infty} \lim_{T \rightarrow \infty} R_T(\tau) e^{-j\omega\tau} d\tau = \int_{-\infty}^{\infty} R(\tau) e^{-j\omega\tau} d\tau \end{aligned}$$

- 因此,  $S(\omega)$  是  $R(\tau)$  的 Fourier 变换,  $R(\tau)$  是  $S(\omega)$  的逆变换, 得证

## 功率谱密度 (续)

- 由于  $R(\tau)$  和  $S(\omega)$  都是偶函数, Wiener-Khintchine 公式可进一步写为偶 Fourier 变换形式:

$$S(\omega) = 2 \int_0^{\infty} R(\tau) \cos \omega \tau d\tau$$

$$R(\tau) = \frac{1}{\pi} \int_0^{\infty} S(\omega) \cos \omega \tau d\omega$$

- 对平稳序列来说, 若  $\sum_{\tau=-\infty}^{\infty} |R(\tau)| < \infty$ , 其 Wiener-Khintchine 公式 (DTFT) 为

$$S(\omega) = \sum_{\tau=-\infty}^{\infty} R(\tau) e^{-j\omega\tau}$$

$$R(\tau) = \frac{1}{2\pi} \int_{-\pi}^{\pi} S(\omega) e^{j\omega\tau} d\omega$$

## 功率谱密度 (续)

- 当  $\mathbb{E}X(t) = m$  时,  $S(\omega)$  和自相关函数  $r(\tau)$  是一对 Fourier 变换:

$$S(\omega) = \int_{-\infty}^{\infty} r(\tau) e^{-j\omega\tau} d\tau$$
$$r(\tau) = \frac{1}{2\pi} \int_{-\infty}^{\infty} S(\omega) e^{j\omega\tau} d\omega$$

- 为方便起见, 以下我们总假定  $\mathbb{E}X(t) = 0$
- 最为常见的谱密度形式, 是有理谱密度, 也即  $S(\omega) = \frac{P(\omega)}{Q(\omega)}$  是两个多项式的比
- 由谱密度是  $\omega$  的非负实值偶函数知, 其形式如下:

$$S(\omega) = \frac{\omega^{2n} + a_{2n-2}\omega^{2n-2} + \cdots + a_2\omega^2 + a_0}{\omega^{2m} + b_{2m-2}\omega^{2m-2} + \cdots + b_2\omega^2 + b_0} s_0, \quad s_0 \neq 0$$

- 因  $\frac{1}{2\pi} \int_{-\infty}^{\infty} S(\omega) d\omega = R(0) = \mathbb{E}X^2(0) > 0$ , 故  $S(\omega)$  当在  $[0, \infty)$  上可积
  - ▷ 可积性要求分母多项式  $Q(\omega) = 0$  没有实根
  - ▷ 可积性要求  $m > n$
  - ▷  $S(\omega) \geq 0, \forall \omega$  要求  $s_0 > 0$

# 功率谱密度 (续)

例 4.14

- 已知谱密度为

$$S(\omega) = \frac{\omega^2 + 2}{\omega^4 + 5\omega^2 + 4}$$

- 求对应平稳过程的协方差函数和方差

解:

- 运用 Wiener-Khintchine 公式

$$\begin{aligned} R(\tau) &= \frac{1}{2\pi} \int_{-\infty}^{\infty} S(\omega) e^{j\omega\tau} d\omega \\ &= \frac{1}{2\pi} \int_{-\infty}^{\infty} \frac{\omega^2 + 2}{\omega^4 + 5\omega^2 + 4} e^{j\omega\tau} d\omega \end{aligned}$$

- 再使用留数定理计算上述积分值

# 功率谱密度 (续)

利用留数定理计算  $\int_{-\infty}^{+\infty} \frac{P(z)}{Q(z)} e^{j\omega z} dz$  型积分

设  $g(z) = \frac{P(z)}{Q(z)}$ , 其中  $P(z)$  及  $Q(z)$  是互质多项式, 且符合条件:

- (1)  $Q(z)$  的次数比  $P(z)$  的次数高;
- (2) 在实轴上  $Q(z) \neq 0$ ;
- (3)  $m > 0$ .

函数  $g(z)e^{j\omega z}$  有  $n$  个孤立奇点  $a_k$  ( $k = 1, 2, \dots, n$ ). 根据 Jordan 引理有

$$\int_{-\infty}^{+\infty} g(z)e^{j\omega z} dz = 2\pi j \sum_{\substack{z=a_k \\ \text{Im } a_k > 0}} \text{Res}[g(z)e^{j\omega z}]$$

- $\text{Im } a_k > 0$  表示函数  $g(z)e^{j\omega z}$  在上半平面的所有孤立奇点, 即满足虚部大于 0
- $\text{Res}_{z=a_k}[g(z)e^{j\omega z}]$  表示函数  $g(z)e^{j\omega z}$  在孤立奇点  $a_k$  处的留数
- $m = 0$  时, 若  $Q(z)$  比  $P(z)$  至少高两次方, 该求法依然适用



## 留数的求法

设  $a$  为  $f(z)$  的  $n$  阶极点, 即

$$f(z) = \frac{\varphi(z)}{(z-a)^n},$$

其中  $\varphi(z)$  在  $a$  处解析且  $\varphi(a) \neq 0$ . 则,

$$\operatorname{Res}[f(z)]_{z=a} = \frac{\varphi^{(n-1)}(a)}{(n-1)!}.$$

注意  $\varphi(z) = (z-a)^n f(z)$ ,  $\varphi^{(0)}(a)$  代表  $\varphi(a)$ , 且

$$\varphi^{(n-1)}(a) = \lim_{z \rightarrow a} \varphi^{(n-1)}(z)$$

## 功率谱密度 (续)

- 在本例中, 先考虑  $\tau \geq 0$ , 则

$$g(z) = \frac{1}{2\pi} \frac{z^2 + 2}{z^4 + 5z^2 + 4} e^{j\tau x} = \frac{(z^2 + 2)e^{j\tau z}}{2\pi(z - j)(z + j)(z - 2j)(z + 2j)}.$$

- 满足  $\text{Im } a_k > 0$  的孤立奇点有

- ▷  $x = j$  (一阶极点)
- ▷  $x = 2j$  (一阶极点)

- $z = j$  是**一阶极点**, 则  $\varphi(z) = (z - j)g(z)e^{j\tau z}$ , 其留数为

$$\text{Res}[g(z)e^{j\tau z}]_{z=j} = \lim_{z \rightarrow j} \varphi(z) = \frac{1}{2\pi} \frac{1}{6j} e^{-\tau}$$

- $z = 2j$  也是**一阶极点**, 则  $\varphi(z) = (z - 2j)g(z)e^{j\tau z}$ , 其留数为

$$\text{Res}[g(z)e^{j\tau z}]_{z=2j} = \lim_{z \rightarrow 2j} \varphi(z) = \frac{1}{2\pi} \frac{1}{6j} e^{-2\tau}$$

## 功率谱密度 (续)

- 进一步地, 对  $\tau \geq 0$ , 有

$$\begin{aligned} R(\tau) &= 2\pi j \sum_{\text{Im } a_k > 0} \text{Res}[g(z)e^{jmz}] \\ &= 2\pi j \cdot \frac{1}{2\pi} \left( \frac{1}{6j} e^{-\tau} + \frac{1}{6j} e^{-2\tau} \right) = \frac{1}{6} (e^{-\tau} + e^{-2\tau}) \end{aligned}$$

- 由于  $R(\tau)$  是实函数且是**共轭对称函数**, 故其是偶函数, 因而

$$R(\tau) = \frac{1}{6} (e^{-|\tau|} + e^{-2|\tau|}), \quad \tau \in \mathbb{R}$$

- 过程的方差

$$R(0) = \frac{1}{6} (1 + 1) = \frac{1}{3}$$

## 功率谱密度 (续)

例 4.15

- 已知**平稳序列**的协方差函数为

$$R(\tau) = \frac{1}{2\pi} \rho^{|\tau|}, \quad \tau = 0, \pm 1, \dots$$

其中  $|\rho| < 1$ , 求其谱密度函数

解: 运用平稳序列的 Wiener-Khintchine 公式

$$\begin{aligned} S(\omega) &= \sum_{\tau=-\infty}^{\infty} R(\tau) e^{-j\omega\tau} = \frac{1}{2\pi} \left[ \sum_{\tau=0}^{\infty} (\rho e^{-j\omega})^{\tau} + \sum_{\tau=0}^{\infty} (\rho e^{j\omega})^{\tau} - 1 \right] \\ &= \frac{1}{2\pi} \left( \frac{1}{1 - \rho e^{-j\omega}} + \frac{1}{1 - \rho e^{j\omega}} - 1 \right) \quad (\text{复数项级数, } |\rho e^{-j\omega}| < 1, |\rho e^{j\omega}| < 1) \\ &= \frac{1}{2\pi} \frac{2 - \rho e^{-j\omega} - \rho e^{j\omega} - |1 - \rho e^{j\omega}|^2}{|1 - \rho e^{j\omega}|^2} \quad (\text{通分}) \\ &= \frac{1}{2\pi} \frac{2 - 2\rho \cos \omega - [1 - 2\rho \cos \omega + \rho^2]}{|1 - \rho \cos \omega - j\rho \sin \omega|^2} \quad (\text{Euler 公式}) \\ &= \frac{1}{2\pi} \frac{1 - \rho^2}{1 - 2\rho \cos \omega + \rho^2} \quad (\text{分母实数化}) \end{aligned}$$

## 功率谱密度 (续)

例 4.16

- 已知平稳过程的协方差函数为

$$R(\tau) = \frac{1}{2\pi} \rho^{|\tau|}, \quad \tau \in \mathbb{R}$$

其中  $0 < \rho < 1$ , 求其谱密度函数

解: 运用 Wiener-Khintchine 公式

$$\begin{aligned} S(\omega) &= \int_{-\infty}^{\infty} R(\tau) e^{-j\omega\tau} d\tau = \frac{1}{2\pi} \left[ \int_0^{\infty} (\rho e^{-j\omega})^{\tau} d\tau + \int_0^{\infty} (\rho e^{j\omega})^{\tau} d\tau \right] \\ &= \frac{1}{2\pi} \left[ \frac{(\rho e^{-j\omega})^{\tau}}{\ln(\rho e^{-j\omega})} \Big|_{\tau=0}^{\infty} + \frac{(\rho e^{j\omega})^{\tau}}{\ln(\rho e^{j\omega})} \Big|_{\tau=0}^{\infty} \right] \\ &= \frac{1}{2\pi} \left( -\frac{1}{\ln \rho + j\omega} - \frac{1}{\ln \rho - j\omega} \right) \\ &= \frac{1}{2\pi} \frac{-2 \ln \rho}{\ln^2 \rho + \omega^2} = -\frac{\ln \rho}{\pi(\ln^2 \rho + \omega^2)} \end{aligned}$$

- 注意到  $0 < \rho < 1$ , 故有  $S(\omega) > 0$  (根据定义, 功率谱密度总是非负)

# 功率谱密度 (续)

- 求解协方差函数或谱密度时, 可以利用 Fourier 变换的性质, 例如

▷ 卷积: 卷积的变换等于变换的乘积

$$\mathbb{F}[x(t) * y(t)] = \mathbb{F}[x(t)]\mathbb{F}[y(t)], \quad \mathbb{F}^{-1}[\mathbb{F}[x(t)] * \mathbb{F}[y(t)]] = 2\pi x(t)y(t)$$

▷ 微分: 微分的变换等于变换乘  $j\omega$

$$\mathbb{F}\left[\frac{d^n}{dt^n}x(t)\right] = (j\omega)^n \mathbb{F}[x(t)], \quad \mathbb{F}^{-1}\left[\frac{d^n}{d\omega^n}\mathbb{F}[x(t)]\right] = (-jt)^n x(t)$$

- 在实践中, 可能会遇到协方差或谱密度函数的**变换不存在**的情形
  - 例如**常数或正弦型函数**
  - 此时需要引入 **Dirac delta 函数**

$$\delta(t) = 0 \text{ 当 } t \neq 0, \text{ 并且 } \int_{-\infty}^{\infty} \delta(t) dt = 1$$

- $\delta$  函数具备如下性质: 对任意连续函数  $f(\tau)$ ,

$$\int_{-\infty}^{\infty} \delta(\tau - \tau_0) f(\tau) d\tau = f(\tau_0)$$

- 基于此性质, 可知  **$\delta$  函数和常数 1 是一对 Fourier 变换**

$$\mathbb{F}[\delta(\tau)] = \int_{-\infty}^{\infty} \delta(\tau) e^{-j\omega\tau} d\tau = e^{-j\omega\tau}|_{\tau=0} = 1$$

- 从而

$$\mathbb{F}^{-1}[1] = \frac{1}{2\pi} \int_{-\infty}^{\infty} 1 \cdot e^{j\omega\tau} d\omega = \delta(\tau)$$

## 功率谱密度 (续)

- 在包含  $\delta$  函数的广义 Fourier 变换下, Wiener-Khintchine 公式仍成立
- 若平稳过程的协方差函数为常数  $R(\tau) = 1, \tau \in \mathbb{R}$ , 其谱密度函数为

$$S(\omega) = \int_{-\infty}^{\infty} R(\tau) e^{-j\omega\tau} d\tau = \int_{-\infty}^{\infty} e^{j\omega\tau} d\tau = 2\pi\delta(\omega)$$

- 若过程的谱密度为常数  $S(\omega) = 1, \omega \in \mathbb{R}$ , 则其协方差函数为

$$R(\tau) = \frac{1}{2\pi} \int_{-\infty}^{\infty} S(\omega) e^{j\omega\tau} d\omega = \delta(\tau)$$



## 功率谱密度 (续)

$$\delta(t) = \frac{1}{2\pi} \int_{-\infty}^{\infty} e^{j\omega t} d\omega$$

- 若谱密度为**余弦型**函数  $S(\omega) = a \cos \omega \tau_0$ , 其对应的协方差函数为

$$\begin{aligned} R(\tau) &= \frac{1}{2\pi} \int_{-\infty}^{\infty} a \cos \omega \tau_0 e^{j\omega \tau} d\omega \\ &= \frac{a}{2\pi} \int_{-\infty}^{\infty} \frac{e^{j\omega \tau_0} + e^{-j\omega \tau_0}}{2} e^{j\omega \tau} d\omega \\ &= \frac{a}{4\pi} \left[ \int_{-\infty}^{\infty} e^{j\omega(\tau+\tau_0)} d\omega + \int_{-\infty}^{\infty} e^{j\omega(\tau-\tau_0)} d\omega \right] \\ &= \frac{a}{2} [\delta(\tau + \tau_0) + \delta(\tau - \tau_0)] \end{aligned}$$

- 类似有, **正弦型**谱密度函数  $S(\omega) = a \sin \omega \tau_0$  对应的协方差函数为

$$R(\tau) = \frac{a}{2\pi} \int_{-\infty}^{\infty} \frac{e^{j\omega \tau_0} - e^{-j\omega \tau_0}}{2j} e^{j\omega \tau} d\omega = -\frac{ja}{2} [\delta(\tau + \tau_0) - \delta(\tau - \tau_0)]$$

## 功率谱密度 (续)

### 例 白噪声过程

- 谱密度为常数  $S_0$  的平稳过程称为白噪声过程 (白光的谱)
- 由上述计算结果可知, 白噪声的协方差函数为  $\delta$  函数 (脉冲函数)

$$R(\tau) = \mathbb{F}^{-1}[S_0] = \frac{1}{2\pi} \int_{-\infty}^{\infty} S_0 e^{j\omega\tau} d\omega = S_0 \delta(\tau)$$

- 当  $\tau > 0$  时,  $R(\tau) = 0$ , 也即白噪声过程中, 不同时刻间是不相关的
- 根据推论 4.1, 可验证白噪声过程是遍历的:

$$\int_{-\infty}^{\infty} |R(\tau)| d\tau = S_0 \int_{-\infty}^{\infty} |\delta(\tau)| d\tau = S_0 < \infty$$

- 白噪声过程的平均功率为无穷大, 因此在物理上无法实现:

$$\lim_{T \rightarrow \infty} \frac{1}{2T} \int_{-T}^T \mathbb{E} X^2(t) dt = \lim_{T \rightarrow \infty} \frac{1}{2T} \int_{-T}^T R(0) dt = R(0) = \infty$$

## 功率谱密度 (续)

- 实践中, 若某类噪声在**比所关注的有用带宽宽得多**的范围内, 具有**较平坦**密度谱时, 可近似当作白噪声来处理, 例如
  - ▷ 电子管中的散弹噪声
  - ▷ 电子设备的热噪声
- 类似地, 在离散时间下, 若平稳序列的谱密度为常数  $S_0$ , 则称为白噪声序列, 其协方差函数为

$$R(\tau) = \mathbb{F}^{-1}[S_0] = \frac{1}{2\pi} \int_{-\pi}^{\pi} S_0 \cos \omega \tau d\omega = \begin{cases} S_0, & \tau = 0, \\ 0, & \tau = \pm 1, \pm 2, \dots \end{cases}$$

- 因此, 过程的**不同时刻不相关**
- 若进一步假定  $X(n)$  为正态分布, 则称其为 **Gauss 白噪声序列**, 方差为  $S_0$
- 由  $R(\tau) = 0, \forall \tau \neq 0$  可知, 不同时刻的  $X(n)$  是不相关的
- 进而由多维正态分布性质知,  $X(n), n \in \mathbb{Z}$ , 是相互独立的
  - ▷ 注意: 一般过程下, 不相关仅代表相互间没有线性关系, 未必独立
  - ▷ 独立  $\Rightarrow$  不相关

# 功率谱密度 (续)

## 例 4.17

- 设输入信号  $\{\varepsilon_n, n = 0, 1, \dots\}$  是一列均值为 0、方差为 1 的 Gauss 白噪声
- 输出信号

$$X_n = a_1 \varepsilon_n + a_2 \varepsilon_{n-1}, \quad n = 1, 2, \dots$$

- 求  $X_n$  的谱密度

解:

- 先求  $X_n$  的协方差函数: 基于  $\{\varepsilon_n, n \in \mathbb{Z}\}$  是相互独立的, 有

$$\begin{aligned} R(\tau) &= \mathbb{E}X_n X_{n+\tau} \\ &= a_1^2 \mathbb{E}\varepsilon_n \varepsilon_{n+\tau} + a_1 a_2 [\mathbb{E}\varepsilon_n \varepsilon_{n+\tau-1} + \mathbb{E}\varepsilon_{n+\tau} \varepsilon_{n-1}] + a_2^2 \mathbb{E}\varepsilon_{n-1} \varepsilon_{n+\tau-1} \\ &= \begin{cases} a_1^2 + a_2^2, & \tau = 0, \\ a_1 a_2, & \tau = \pm 1, \\ 0, & \text{其它情形} \end{cases} \end{aligned}$$

## 功率谱密度 (续)

$$R(\tau) = \begin{cases} a_1^2 + a_2^2, & \tau = 0, \\ a_1 a_2, & \tau = \pm 1, \\ 0, & \text{其它情形} \end{cases}$$

- 再求谱密度

$$\begin{aligned} S(\omega) &= \mathbb{F}[R(\tau)] = \sum_{\tau=-\infty}^{\infty} R(\tau) e^{-j\omega\tau} \\ &= R(-1)e^{j\omega} + R(0) + R(1)e^{-j\omega} \\ &= a_1 a_2 (e^{j\omega} + e^{-j\omega}) + a_1^2 + a_2^2 \\ &= a_1^2 + 2a_1 a_2 \cos \omega + a_2^2 \end{aligned}$$

- 输出信号的谱密度是一个以  $2\pi$  为周期的周期函数

## 功率谱密度 (续)

### 例 4.18

- 设复值信号  $X(t) = ae^{j(Wt-\varphi)}$  是一个平稳过程
- 其中  $W$  是概率密度为  $f_W(\omega)$  的实随机变量,  $a$  和  $\varphi$  是实数
- 则其自相关函数为 (注意  $\mathbb{E}X(t)$  可能不为 0, 故不是协方差函数)

$$\begin{aligned}r(\tau) &= \mathbb{E}X(t+\tau)\overline{X(t)} \\&= a\mathbb{E}e^{j[W(t+\tau)-\varphi]} \cdot ae^{-j(Wt-\varphi)} \\&= a^2\mathbb{E}e^{jW\tau} \\&= a^2 \int_{-\infty}^{\infty} e^{j\omega\tau} f_W(\omega) d\omega = 2\pi a^2 \mathbb{F}^{-1}[f_W(\omega)]\end{aligned}$$

- 其谱密度为

$$S(\omega) = \mathbb{F}[r(\tau)] = \mathbb{F}[2\pi a^2 \mathbb{F}^{-1}[f_W(\omega)]] = 2\pi a^2 f_W(\omega)$$

- 上述结果可应用于物理中的 Doppler 效应

# 功率谱密度 (续)

## 例 Doppler 效应

- 设一谐波振荡器位于  $x$  轴的点  $P$  上
- 该振荡器以速度  $v$  沿  $x$  轴正方向移动,  $v$  是一个随机变量, 概率密度为  $f_v(u)$
- 振荡器发射的信号为  $ae^{j\omega_0 t}$
- 位于坐标轴原点的接收器, 收到的信号为

$$s(t) = ae^{j\omega_0(t - \frac{r_0 + vt}{c})} = ae^{j[\omega_0(1 - \frac{v}{c})t - \frac{\omega_0 r_0}{c}]}$$

- 其中  $r_0$  是  $OP$  的距离,  $c$  是信号的传播速度
- 则可套用例 4.18 的结果:

$$s(t) = ae^{j(Wt - \varphi)}, \quad W = \omega_0(1 - \frac{v}{c}), \quad \varphi = \frac{\omega_0 r_0}{c}$$

- $W$  的概率密度为  $f_W(\omega) = \frac{c}{\omega_0} f_v\left(\frac{\omega_0 - \omega}{\omega_0} c\right)$

## 功率谱密度 (续)

- 接收信号的**谱密度**为

$$S(\omega) = 2\pi a^2 f_W(\omega) = \frac{2\pi a^2 c}{\omega_0} f_v\left(\frac{\omega_0 - \omega}{\omega_0} c\right)$$

- 若振荡器沿与  $x$  轴成一定角度方向移动, 则上式仍然成立, 只是此时  $v$  表示**速度在  $x$  轴的分量**
- 注意到若  $v = 0$ , 也即  $P(v = 0) = 1$ , 则  $f_v(\omega) = \delta(\omega)$ , 利用

$$\int_{-\infty}^{\infty} \delta(k\omega) d(k\omega) = 1 \Rightarrow k\delta(k\omega) = \delta(\omega)$$

$$\Rightarrow S(\omega) = \frac{2\pi a^2 c}{\omega_0} \delta\left(\frac{\omega_0 - \omega}{\omega_0} c\right) = 2\pi a^2 \delta(\omega_0 - \omega) = 2\pi a^2 \delta(\omega - \omega_0)$$

- 此时, **频谱汇聚于  $\omega_0$  这一点**
- $v > 0$  且为**确定值**时,  $f_v(\omega) = \delta(\omega - v)$ : **频谱仍汇聚于一点, 但汇聚频率改变**
- 当  $v$  为**随机变量**时, 由于信号源运动的随机性, **谱密度会变宽**



## 第 4 章 习题

### 习题 4:

- 4.1 节作业: 2, 4, 5, 7, 9, 12
- 4.2 节作业: 16, 17
- 4.3 节作业: 20, 22, 24, 25, 28(3)(5), 29